



รายงาน
ผลการวิจัยฉบับสมบูรณ์

ชื่อโครงการวิจัยประจำปีงบประมาณ พ.ศ. 2557

เรื่อง

การประยุกต์ใช้คอมพิวเตอร์ในการวิเคราะห์คุณสมบัติของดินบดอัดสำหรับถนน

A Computer Application for the Properties Analysis
of Soil Compaction for Road Work

คณะผู้วิจัย

นางสาววนันต์ อารีย์พงศ์
หัวหน้าโครงการวิจัย
มหาวิทยาลัยราชภัฏนครศรีธรรมราช

ดร.ปิติ จันทร์ไทย
ผู้ร่วมวิจัย
มหาวิทยาลัยราชภัฏนครศรีธรรมราช

รศ.ดร.สราเวช จริตงาม
ผู้ร่วมวิจัย
มหาวิทยาลัยสงขลานครินทร์

ได้รับทุนอุดหนุนการวิจัยจากมหาวิทยาลัยราชภัฏนครศรีธรรมราช
สำนักคณะกรรมการอุดมศึกษา
พฤษจิกายน 2557

บทคัดย่อ

งานวิจัยนี้เป็นการศึกษาคุณสมบัติของดินบดอัดสำหรับงานถนน วัตถุประสงค์ของงานวิจัย เพื่อทดสอบและแนะนำวัสดุสำหรับงานฐานรากให้สามารถรับน้ำหนักบรรทุกเพื่อรับน้ำหนัก ยานพาหนะได้อย่างปลอดภัยและไม่เกิดการทรุดตัวของถนน

ในการศึกษาได้ทำการทดสอบค่ารับน้ำหนักของดินโดยวิธี Plate Load Test เพื่อตรวจสอบ การทรุดตัว (Settlement) ของดินฐานราก และหาค่า California Bearing Ratio (CBR) ของดินฐาน รากตำแหน่งเดียวกัน ผลการทดสอบพบว่าค่า CBR ทั้งแบบ Soaked และ Unsoaked และการทรุด ตัว (Settlement) ของดินฐานรากทุกจุดมีค่าอยู่ในเกณฑ์ที่กำหนด และสามารถใช้เป็นวัสดุฐานรากได้

Abstract

This research is to study the properties of soil compaction for road work. Purpose of this research is to test raw materials for foundations and recommended to the vehicle to get the vehicle weight safely and do not cause the road settlement.

The study tested the capacity of the soil by Plate Load Test to determine the settlement (Settlement) of the soil foundation and the California Bearing Ratio (CBR) of the soil for the foundation. Results showed that both the CBR and Unsoaked Soaked and settlement of the soil foundation at all points in the criteria. It can be used as building foundations.

กิตติกรรมประกาศ

ขอขอบพระคุณท่าน รศ.วิมล ดำศรี อธิการบดีมหาวิทยาลัยราชภัฏนครศรีธรรมราช และดร.ธนากรณ์ เมืองมุงคุณ คณบดีคณะเทคโนโลยีอุตสาหกรรม ที่ให้การสนับสนุนในการทำงาน วิจัยให้สามารถดำเนินการลุล่วงด้วยดี

ขอขอบคุณผู้อำนวยการสถาบันวิจัยและเจ้าหน้าที่ทุกท่านในการให้การสนับสนุน การทำงานวิจัยในครั้งนี้

ท้ายสุดนี้ผู้วิจัยขอขอบคุณเจ้าหน้าที่ นักศึกษาสาขาเทคโนโลยีการโยธา คณะ เทคโนโลยีอุตสาหกรรม และนักศึกษาภาควิชาชีวกรรมโดยรา คณะวิศวกรรมศาสตร์ มหาวิทยาลัยสงขลานครินทร์ ที่ได้ให้ความช่วยเหลือในการเก็บข้อมูลภาคสนาม และจัดพิมพ์รายงาน จนสำเร็จลุล่วงอย่างดียิ่ง

น.ส.ธนานันต์ อารีย์พงศ์

ดร.ปิติ จันทร์ไทย

รศ.ดร.สราเวช จริตงาม

สารบัญ

	หน้า
บทคัดย่อ	ก
Abstract	ข
กิตติกรรมประกาศ	ค
สารบัญ	ง
สารบัญตาราง	ฉ
สารบัญรูปภาพ	ช
บทที่	
1 บทนำ	1
1.1 ที่มาและความสำคัญของปัญหาการวิจัย	1
1.2 วัตถุประสงค์	1
1.3 ขอบเขตงานวิจัย	2
1.4 ประโยชน์ที่คาดว่าจะได้รับจากการวิจัย	2
2 ทฤษฎีและหลักการ	3
2.1 งานวิจัยที่เกี่ยวข้อง	3
2.2 งานทดสอบที่เกี่ยวข้อง	4
3 วิธีการศึกษา	10
3.1 บทนำ	10
3.2 แผนงานดำเนินการ	10
3.3 ขั้นตอนการทดสอบในห้องปฏิบัติการ	11
3.4 การประยุกต์โปรแกรมเพื่อใช้คำนวนหาค่าแรงเค้นต้านทานในดิน	12
3.5 วิธีการดำเนินการวิจัยและสถานที่ทำการทดลอง/เก็บข้อมูล	12
3.6 แนวทางการนำผลงานวิจัยไปใช้งาน	14
4 ผลการทดสอบ	14
4.1 ผลการหาขนาดโดยวิธีการร่อนผ่านตะแกรง	14
4.2 ผลการทดสอบ LIQUID LIMIT และ PLASTIC LIMIT	17
4.3 ผลการทดสอบ COMPACTION TEST	20
4.4 ผลการทดสอบหาค่า UNSOAKED CBR	24
4.5 ผลการทดสอบหาค่า SOAKED CBR	31
4.6 ผลการทดสอบ Plate Load Test	35
4.7 การประยุกต์โปรแกรมเพื่อการคำนวณ	39
5 สรุปผลการวิจัย	42

สารบัญ (ต่อ)

บรรณานุกรม
ภาคผนวก

หน้า
44
45

สารบัญตาราง

ตาราง	หน้า
4.1 การหาขนาดโดยวิธีการร่อนผ่านตะแกรงแบบล้าง กม. 40+860	14
4.2 ผลการทดสอบการหาขนาดโดยวิธีการร่อนผ่านตะแกรงแบบล้าง กม. 44+562	15
4.3 ผลการทดสอบการหาขนาดโดยวิธีการร่อนผ่านตะแกรงแบบล้าง กม. 43+350	16
4.4 ผลการทดสอบ LIQUID LIMIT และ PLASTIC LIMIT กม. 40+860	18
4.5 ผลการทดสอบ LIQUID LIMIT และ PLASTIC LIMIT กม. 43+350	18
4.6 ผลการทดสอบ LIQUID LIMIT และ PLASTIC LIMIT กม. 44+562	19
4.7 ผลการทดสอบการบดอัดดินแบบสูงกว่ามาตรฐาน กม. 40+860	21
4.8 ผลการทดสอบการบดอัดดินแบบสูงกว่ามาตรฐาน กม. 44+562	22
4.9 ผลการทดสอบการบดอัดดินแบบสูงกว่ามาตรฐาน กม. 43+350	23
4.10 ผลการทดสอบหาค่า UNSOAKED CBR แบบสูงกว่ามาตรฐาน กม. 40+860	25
4.11 ผลการทดสอบหาค่า UNSOAKED CBR แบบสูงกว่ามาตรฐาน กม. 44+562	27
4.12 ผลการทดสอบหาค่า UNSOAKED CBR แบบสูงกว่ามาตรฐาน กม. 43+350	29
4.13 ผลการทดสอบหาค่า SOAKED CBR แบบมาตรฐาน กม. 40+860	31
4.14 ผลการทดสอบหาค่า SOAKED CBR แบบมาตรฐาน กม. 41+075	32
4.15 ผลการทดสอบหาค่า SOAKED CBR แบบมาตรฐาน กม. 43+350	33
4.16 ผลการทดสอบหาค่า SOAKED CBR แบบมาตรฐาน กม. 44+562	34
4.17 ผลการทดสอบทั้งหมด	38

สารบัญรูปภาพ

รูปที่	หน้า
3.1 ที่ตั้งโครงการ ตำแหน่งการเก็บตัวอย่างและการทดสอบดิน	11
4.1 กราฟการกระจายตัวของเม็ดดิน กม.40+860	15
4.2 กราฟการกระจายตัวของเม็ดดิน กม. 44+562	16
4.3 กราฟการกระจายตัวของเม็ดดิน กม. 43+350	17
4.4 กราฟความสัมพันธ์ระหว่างความชื้นกับจำนวนครั้งที่เคาะ กม. 40+860	18
4.5 กราฟความสัมพันธ์ระหว่างความชื้นกับจำนวนครั้งที่เคาะ กม. 43+350	19
4.6 กราฟความสัมพันธ์ระหว่างความชื้นกับจำนวนครั้งที่เคาะ กม. 44+562	20
4.7 กราฟแสดงความสัมพันธ์ระหว่าง Dry Density และเปอร์เซ็นต์ความชื้น กม. 40+860	21
4.8 กราฟแสดงความสัมพันธ์ระหว่าง Dry Density และเปอร์เซ็นต์ความชื้น กม. 44+562	23
4.9 กราฟแสดงความสัมพันธ์ระหว่าง Dry Density และเปอร์เซ็นต์ความชื้น กม. 43+350	24
4.10 กราฟ Bearing Pressure กับ Settlement กม.40+860	35
4.11 กราฟ Bearing Pressure กับ Settlement กม.41+075	36
4.12 กราฟของ Bearing Pressure กับ Settlement กม.44+562	37
4.13 กราฟของ Bearing Pressure กับ Settlement กม.43+350	37
4.14 หน้าจอโปรแกรมแสดงกราฟและค่ากำลังต้านทานแรงเฉือนปลดภัยสูงสุด	39
4.15 หน้าจอแสดงข้อมูลการทรุดตัวของดินบริเวณที่ทดสอบ	40

บทที่1

บทนำ

1.1 ที่มาและความสำคัญของปัญหางานวิจัย

การบดอัดของถนนโดยทั่วไปจะทดสอบโดยใช้ค่าการทดสอบความหนาแน่นของดินโดยใช้กรวยทราย (Field density test) ซึ่งจะให้เป็นค่าความหนาแน่นเทียบกับค่าความหนาแน่นที่ได้จากการทดสอบอัดในห้องปฏิบัติการ แต่การทดสอบที่เหมาะสมอีกวิธีคือ การทดสอบกระทำในบริเวณสถานที่จะก่อสร้างด้วยวิธีการทดสอบกดน้ำหนักบรรทุกด้วยแผ่นเหล็ก (Plate Load Test) โดยใช้น้ำหนักวงจรร้อมบริเวณทดสอบ แล้วใช้แผ่นเหล็กสี่เหลี่ยมขนาด 30 เซนติเมตร วางที่กันหลุมโดยใช้น้ำหนักบรรทุกที่เตรียมไว้ เป็น Dead weight การขันน้ำหนักจะทำโดยใช้แม่แรงกดแผ่นเหล็กโดยยันกับน้ำหนักบรรทุกที่เตรียมไว้ และวัดการทรุดตัวของแผ่นเหล็กจาก Dial Gauges 4 ตัว ที่ติดตั้งกับ Reference Beams ทำให้สามารถทราบค่ารับน้ำหนักของดินที่ดำเนินการนั้นๆ และสามารถทำให้ทราบค่าการทรุดตัวเมื่อมีน้ำหนักบรรทุกจากการคำนวณหาค่าความเค้นสูงสุดที่ดินสามารถต้านทานได้

ปัญหาสำคัญประการหนึ่งในการดำเนินการ คือการเก็บข้อมูลภาคสนามเพื่อนำมาคำนวณหาค่าความเค้นต้านทานของดิน และเขียนกราฟเพื่อดูลักษณะการทรุดตัวของดินเมื่อใส่น้ำหนักกระทำ และการการคืนตัวของดินเมื่อค่อยๆ ปล่อยน้ำหนัก การพัฒนาโปรแกรมสำเร็จรูปเพื่อใช้ในการหาค่าความเค้นสูงสุดของดินที่สามารถต้านทานแรงกด และสามารถเขียนภาพกราฟได้ จะช่วยให้วิศวกรหรือผู้เกี่ยวข้องภาคสนามสามารถนำผลไปใช้ได้ทันทีและสามารถมองเห็นลักษณะการทรุดตัวและการคืนตัวของดินที่ทำการทดสอบได้อย่างรวดเร็วและสะดวก

1.2 วัตถุประสงค์

- เพื่อศึกษาเปรียบเทียบค่าตัวแปรที่มีผลต่อค่ารับน้ำหนักบรรทุกที่ได้จากสนามโดยการทดลองหาค่า Bearing Value ด้วยวิธี Plate Load Test จากคุณสมบัติการรับน้ำหนักของดินชนิดเดียวกัน
- เพื่อศึกษารายละเอียดของเครื่องมือและวิธีการทดลองหาค่าความสามารถในการรับน้ำหนักของดินโดยวิธี Plate Bearing

3. ประยุกต์ใช้โปรแกรมหาสมการความสัมพันธ์ในรูปของสมการเพื่อใช้ในการคำนวณทางวิศวกรรม

1.3 ขอบเขตงานวิจัย

ศึกษาข้อมูลสภาพชั้นดินและคุณสมบัติทางวิศวกรรมของดินที่จำเป็นเพื่อวิเคราะห์ทำการรับน้ำหนักในโครงการก่อสร้างถนนในจังหวัดนครศรีธรรมราชหรือใกล้เคียง โดยงานวิจัยนี้เก็บรวบรวมข้อมูลผลการทดสอบดินในห้องปฏิบัติการของดินวัสดุชั้นทางซึ่งเป็นดินปนทราย และดินตัวอย่างจากโครงการฯ สายพัทลุง-ตรัง (ช่วงเข้าพับผ้า) ตอน บ้านนาโยงเหนือ-เข้าพับผ้า (นาง) สำนักวิเคราะห์และตรวจสอบ กรมทางหลวง

1.4 ประโยชน์ที่คาดว่าจะได้รับจากการวิจัย

1. สร้างสมการความสัมพันธ์ของดินกับค่า Bearing Value ที่มีอิทธิพลต่อการรับน้ำหนักของถนน
2. สามารถออกแบบแบบพื้นถนนลาดยางโดยใช้ค่า Bearing Value

บทที่ 2

ทฤษฎีและหลักการ

2.1 งานวิจัยที่เกี่ยวข้อง

ปี ค.ศ. 1946 Yoder ได้ทำการวิจัยเพื่อหาค่าความแน่นแห้งสูงสุด และค่า California Bearing Ratio (CBR) ของดินตัวอย่างที่ได้จากการทดสอบดินเม็ดหินยานหินต่างๆ กับดินที่ผ่านตะแกรง No. 200 ในอัตราส่วนต่างๆ กัน ซึ่งดินที่ผ่านตะแกรง No. 200 ที่ใช้ในการทดสอบนี้มีค่า Liquid Limit เท่ากับ 27 % และมีค่า Plasticity Index เท่ากับ 6 % และใช้พัลส์งานในการทดสอบดัชนีที่คงที่ ผลจากการวิจัยได้แสดงไว้ในภาพที่ 1 จะเห็นได้ว่า ความสัมพันธ์ของความแน่นแห้งสูงสุด และปริมาณดินที่ผ่านตะแกรง No. 200 จะมีลักษณะเป็นรูประฆังกว่า เนื่องจากในช่วงต้นค่าความแน่นแห้งสูงสุด จะมีค่าต่ำ เนื่องจากไม่มีดินเม็ดละเอียดเข้าไปเติมในช่องว่างของดินเม็ดใหญ่ ต่อมาในช่วงกลางค่าความแน่นแห้งสูงสุดจะมีค่าสูงสุด เพราะมีปริมาณดินเม็ดละเอียดเข้าไปเติมในช่องว่างของดินเม็ดใหญ่ ได้พอดี จึงมีช่องว่างในมวลดินน้อยมาก แต่เมื่อเพิ่มปริมาณดินเม็ดละเอียดมากขึ้นเรื่อยๆ จะทำให้โครงสร้างของมวลดินเปลี่ยนไป โดยดินเม็ดใหญ่จะลอยอยู่ในดินเม็ดเล็ก ดังนั้นการทดสอบดัชนีจึงเกิดขึ้นได้ไม่สมบูรณ์ทำให้ค่าความแน่นแห้งสูงสุดลดลง

ต่อมาในยุคหลังจึงได้มีการศึกษาความสัมพันธ์ของการกระจายตัวของขนาดเม็ดดินและคุณสมบัติทางวิศวกรรมของดินบดอัดประกอบด้วยเม็ดดินหินยานหินต่างๆ และพิจารณาถึงรูปร่างของกราฟการกระจายตัวของขนาดเม็ดดินมากขึ้น แต่เนื่องจากกราฟการกระจายตัวของขนาดเม็ดดินนั้นมีรูปร่างหกเหลี่ยมลักษณะ การจะศึกษาให้ได้ความสัมพันธ์ที่ชัดเจนนั้นต้องอาศัยข้อมูลเป็นจำนวนมาก จึงมีการตั้งสมมติฐานของรูปร่างของกราฟการกระจายตัวของขนาดเม็ดดิน ที่จะทำการศึกษาที่แตกต่างกันไป

ปี ค.ศ. 1970 ตามคู่มือการออกแบบของ Asphalt Institute ฉบับที่ 8 นั้น ปัจจัยที่เกี่ยวกับความแข็งแรงของดินฐานรากจะอยู่ในรูปของ CBR , Plate Bearing K-value, หรือ R value อย่างใดอย่างหนึ่ง ในทั้ง 3 พารามิเตอร์นี้ ค่า CBR เป็นที่นิยมมากที่สุด เนื่องจากการทดสอบความแข็งแรงของดินฐานรากเป็นเบอร์เช็นต์ CBR นั้นไม่ยุ่งยาก สามารถทำได้รวดเร็ว ดังนั้นกรมทางหลวงจึงได้เลือกใช้เบอร์เช็นต์ CBR ของดินฐานรากเป็นตัวแปรในการออกแบบโครงสร้างถนนลาดยางโดยวิธี Asphalt Institute ฉบับที่ 8 นอกจากนั้นอัตราส่วนความแข็งแรงของวัสดุต่างๆ ในโครงสร้างชั้นทาง (Substitution Ratios) ก็เป็นอีกปัจจัยหนึ่งที่สำคัญ ที่ใช้ในการแปลงความหนาของ Full Depth Asphalt Pavement ให้เป็นค่าน้ำหนักโครงสร้างทางเป็นชั้นๆ โดย Substitution

ปี ค.ศ. 1997 กลุ่มวิจัยและพัฒนาด้านวิศวกรรม สำนักวิจัยและพัฒนา กรมชลประทาน ศึกษาหาความสัมพันธ์ของผลการทดสอบระหว่าง CBR กับชนิดของดิน (เฉพาะกลุ่ม CL) การศึกษา

ครั้งนี้เป็นการศึกษาที่เฉพาะเจาะจงกลุ่มดิน ซึ่งเป็นการศึกษาดินกลุ่ม CL โดยดินชนิดนี้จะเป็นดินที่พบบ่อยในงานก่อสร้างต่างๆ เช่น เขื่อนดิน คลองดิน ถนน หรืออาจจะเป็นงานฐานรากอาคาร การที่จะนำดินไปใช้ในงานที่เกี่ยวกับการก่อสร้างนั้น จำเป็นที่จะต้องพิจารณาถึงคุณสมบัติอย่างหนึ่งที่สำคัญของดิน คือ ความสามารถในการรับน้ำหนักของดินโดยใช้ค่า CBR เป็นค่าที่บ่งบอกถึงความสามารถในการรับน้ำหนักบรรทุกได้ของดิน โดยทว่าจะทำการทดสอบกับดินที่บดอัดตามเกณฑ์มาตรฐานที่จุด Optimum Moisture Content และการทดสอบหาค่า CBR แบบเบิก เป็นกรณีนี้ ที่ดินในธรรมชาติจะรับน้ำหนักบรรทุกขณะที่ดินอิ่มตัว ซึ่งเป็นสภาพที่ดินบรวมตัวและมีความสามารถในการรับน้ำหนักได้ต่ำกว่าปกติ จึงเป็นกรณีที่น่าศึกษาและนำไปใช้ออกแบบต่อไป การทดสอบหาความสามารถสัมพันธ์ระหว่าง CBR กับชนิดของดิน (เฉพาะกลุ่ม) โดยแบ่งเป็นช่วงตามค่า Liquid Limit (L.L.) และ Plasticity Index (P.I.) เป็นเกณฑ์ในการวิเคราะห์ได้ผลการศึกษาดังนี้โดย

ช่วงที่ 1 ค่า L.L. มีค่าอยู่ระหว่าง 20.00-30.90 และค่า P.I. มีค่าอยู่ระหว่าง 6.00-14.90 พบร้า มีความสามารถสัมพันธ์กัน ที่ระดับนัยสำคัญ 0.01 ให้ค่าสัมประสิทธิ์สหสัมพันธ์เท่ากับ 0.8521 ได้สมการความสัมพันธ์ คือ $Y = 2.935 X - 3.332$

ช่วงที่ 2 ค่า L.L. มีค่าอยู่ระหว่าง 30.00-39.99 และค่า P.I. มีค่าอยู่ระหว่าง 6.00-14.90 พบร้า มีความสามารถสัมพันธ์กัน ที่ระดับนัยสำคัญ 0.01 ให้ค่าสัมประสิทธิ์สหสัมพันธ์เท่ากับ 0.9412 ได้สมการความสัมพันธ์ คือ $Y = 2.833 X - 3.053$

ช่วงที่ 3 ค่า L.L. มีค่าอยู่ระหว่าง 40.00-49.90 และค่า P.I. มีค่าอยู่ระหว่าง 14.90-25.00 พบร้า มีความสามารถสัมพันธ์กัน ที่ระดับนัยสำคัญ 0.01 ให้ค่าสัมประสิทธิ์สหสัมพันธ์เท่ากับ 0.8021 ได้สมการความสัมพันธ์ คือ $Y = 5.475 X - 7.232$ เมื่อ Y คือค่า CBR และ X คือค่า Dry Density (tons /cu.m)

ปี ค.ศ. 2000 พิศาล วินัยชาติศักดิ์และอดิเทพ ณ ชุมสาย ทำการศึกษาความสามารถสัมพันธ์ของพารามิเตอร์ จำนวน 3 ค่า คือ CBR, Bearing Value (psi) และ Modulus of Subgrade Reaction K (pci) ผลการทดลองพบว่า มีความเกี่ยวข้องกันจริงและสามารถแปลงจากค่าหนึ่งไปเป็นอีกค่าหนึ่งได้ซึ่งสมการความสัมพันธ์ที่หาได้สามารถนำไปทดสอบค่าคงตัวของดินที่มีค่า CBR อยู่ในช่วงร้อยละ 25 ถึงร้อยละ 45

2.2 งานทดสอบที่เกี่ยวข้อง

2.2.1 หล.-ท. 205 การทดสอบหาขนาดเม็ดของวัสดุโดยผ่านตะแกรงแบบล้าง (AASHTO T 27 – 70)

การทดสอบหาขนาดเม็ดวัสดุสำหรับวัสดุที่มีขนาดเล็กกว่าเบอร์ 4 (4.75 มิลลิเมตร) มีขั้นตอนการทดสอบดังนี้

- นำตัวอย่างที่มีส่วนละเอียดจับกันเป็นก้อนมาบีบให้แตกโดยใช้มือแล้วนำตัวอย่างไปอบในตู้อบเมื่อบาบจนมวลคงที่ นำตัวอย่างใส่ภาชนะสำหรับใช้ล้างตัวอย่าง เทน้ำหรือน้ำยาลงไปในภาชนะ

จนท่วมตัวอย่างแข็งไว้ประมาณ 3-4 ชั่วโมง และเต้าอย่างลงบนตะแกรงเบอร์ 4 (4.75 มิลลิเมตร) เบอร์ 10 (2.000 มิลลิเมตร) และเบอร์ 200 (0.075 มิลลิเมตร) ที่วางช้อนไว้ข้างบน เพื่อลดปริมาณตัวอย่างบนตะแกรงเบอร์ 200

- ใช้น้ำล้างจนกว่าไม่มีวัสดุผ่านตะแกรงเบอร์ 200 อีกต่อไป เต้าอย่างลงในภาชนะแล้วนำไปอบให้แห้ง

- นำตัวอย่างไปเขย่าในตะแกรงขนาด 2 นิ้ว, 1 นิ้ว, 3/4 นิ้ว, 3/8 นิ้ว, เบอร์ 4, เบอร์ 10, เบอร์ 40 และเบอร์ 200 ที่วางช้อนไว้เวลาเขย่านานทั้งหมด 15 นาที

- เมื่อเขย่าเสร็จ นำตัวอย่างที่ค้างตะแกรงแต่ละขนาดไปซึ่ง

- คำนวนหาเปอร์เซ็นต์ผ่านตะแกรงต่อมวลรวมของวัสดุซึ่งมีขนาดเล็กกว่าตะแกรงเบอร์ 4 และ คำนวนหาเปอร์เซ็นต์ผ่านตะแกรงต่อมวลของวัสดุซึ่งมีขนาดทั้งใหญ่และเล็กกว่าเบอร์ 4

2.2.2 ทล.-ท.102 การทดสอบหาค่า Liquid Limit (L.L.) (AASHTO T 80) และทล.-ท. 103

การทดสอบหาค่า Plastic Limit (P.L.) และ Plasticity Index (P.I.) (AASHTO T 90)

ค่า L.L. เป็นการหาปริมาณน้ำที่น้อยที่สุดในตัวอย่างเปลี่ยนสถานภาพของเหลว (Liquid) มาเป็นพลาสติก (Plastic) และหาค่า P.L. เพื่อหาปริมาณน้ำที่น้อยที่สุดในตัวอย่างที่ทำให้มีสภาพความหนืดมากขึ้น จากสถานภาพของพลาสติก (Plastic) มาเป็นกึ่งของแข็ง (Semi Solid) โดยการนำมาคลึงเป็นเส้นให้แตกตัวที่ขนาดเส้นผ่าศูนย์กลาง 3.2 มิลลิเมตร (1/8 นิ้ว)

ขั้นตอนการทดสอบมีดังนี้

- (1) นำตัวอย่างที่อบแห้งแล้ว นำมาร่อนผ่านตะแกรงเบอร์ 40 ประมาณ 300 กรัม และนำตัวอย่างที่นิ่มๆและหินคูลมา_r่อนผ่านตะแกรงเบอร์ 40 โดยนำตะแกรงเบอร์ 4 วางช้อนข้างบนเพื่อป้องกันตัวอย่างที่ค้างบนตะแกรงเบอร์ 40 นำตัวอย่างที่ผ่านตะแกรงเบอร์ 40 ไปทำการทดสอบต่อไปส่วนที่ค้างให้ทิ้งไป
- (2) ทำการตรวจสอบเครื่องมือทดลอง ต้องอยู่ในสภาพดีมีขนาดถูกต้อง ลักษณะต้องไม่สึกหรอจนถ้ายกระยะเสื่อม แนวปัดดินในกระยะต้องไม่สึกเป็นร่อง เครื่องมือปัดร่องต้องได้การตรวจสอบความสูงของถ่ายกระยะที่จะยกขึ้น ใช้เท่งโลหะซึ่งมีความสูง 10 มิลลิเมตร วัดระยะทางของถ่ายกระยะให้ได้ 10 มิลลิเมตร โดยปรับสกรูยึดถ่ายกระยะให้หลุมเสียก่อนปล่อยให้ถ่ายกระยะขับวงลงบนที่วัด และจึงขันสกรูยึดให้แน่นดังเดิม หมุนถ่ายกระยะเร็วๆ หลายๆครั้งจนได้ยินเสียง “แก๊ก”
- (3) นำตัวอย่างที่เตรียมไว้มาเทบนแผ่นกระดาษแล้วผสมน้ำประมาณ 15-20 มิลลิลิตรให้มีปัดดิน คนผสมให้ทั่ว จนกระแทกดินและน้ำผสมกันทั่วทั้งก้อนแล้วเพิ่มน้ำอีกครั้งละประมาณ 1-3 มิลลิลิตร ผสมให้เข้ากันจนทั่ว โดยการผสมน้ำแต่ละครั้งใช้เวลาทั้งหมด 5-10 นาที
- (4) นำตัวอย่างใส่ลงในหลอดกระดาษที่มีปากกว้างและปากแคบโดยพยาบาลปิดให้น้ำยครั้งที่สุด และไม่ให้มีพองอากาศ ให้ติดตรงกลางถ่ายกระยะหนา 10 มิลลิเมตร และจับถ่ายยึดให้แน่นใช้เครื่องมือปัดร่องดินปัดดินตรงกลางให้ได้ร่อง

- (5) หมุนเค้าถ่ายกระทงด้วยอัตราเร็ว 2 ครั้งต่อวินาที จนกระหั่งดินในร่องเคลื่อนที่สัมผัสกันระยะ 12.7 มิลลิเมตร ระยะเวลาที่ใช้ทดลองนับตั้งแต่ใส่ดินลงไปในถ่ายกระทงจนกระหั่งเคาะเสร็จ ใช้เวลาไม่ควรเกิน 3 นาที
- (6) เมื่อเค้าจนดินเคลื่อนมาสัมผัสกันยาว 12.7 มิลลิเมตร ให้ใช้มีดปาดดินตักดินบริเวณตรงกลางถ่ายเพื่อนำไปชั่งหน้าหนัก และตักตัวอย่างดินที่เหลือออกจากระทงเทลงบนกระจากแล้วเติมน้ำลงไปผสมใหม่ให้เข้ากันแล้วทำการทดลองซ้ำตามขั้นตอนที่ผ่านมา
- (7) ตัวอย่างที่ใส่กระป่องอบ หลังจากทำการซั่งหน้าหนักแล้วนำเข้าเตาอบ อบจนแห้ง และมีน้ำหนักคงที่แล้วนำออกจากการเตาอบทิ้งไว้จนเย็นแล้วซั่งน้ำหนักมาลองแห้ง เพื่อนำไปคำนวณหาปริมาณน้ำได้ดิน
- (8) ใช้ตัวอย่างมาประมาณ 8 กรัม คลุกเคล้าจนเข้ากันจนทั่วแล้วปั้นให้เป็นรูปไขว้ (Ellipsoidal Shape) คลึงดินด้วยนิ้วให้เป็นเส้นบนแผ่นกระจาก โดยใช้น้ำหนักกดเพียงเบา ๆ ไปตามแนวราบให้ได้เส้นโตสม่ำเสมอตลอดความยาว
- (9) เมื่อคลึงไปจนเส้นผ่านศูนย์กลางของเส้นตัวอย่างเล็กประมาณ 3.2 มิลลิเมตร และเส้นแตกพอดี
- (10) รวบรวมตัวอย่างที่แตกหักหมดใส่ลงในกระป่องอบ แล้วนำไปชั่งน้ำหนัก และทำการอบจนแห้งและมีน้ำหนักคงที่ แล้วนำออกมากจากเตาอบตั้งจนเย็นแล้วทำการซั่งน้ำหนักหน้าหนักของน้ำที่หายไป

2.2.3 ทล.-ท. 107 การทดสอบ Compaction Test (AASHTO T 99) และทล.-ท. 108 การทดสอบ Compaction Test แบบสูงกว่ามาตรฐาน (AASHTO T 180)

วัดคุณประสงค์ เพื่อหาความสัมพันธ์ระหว่างความหนาแน่นของดินกับปริมาณน้ำที่ใช้ในการบดอัด เมื่อทำการบดอัดในแบบ (Mold) โดยใช้ค้อน (Rammer) หนัก 2.494 กิโลกรัม (5.5 ปอนด์) ระยะปล่อยค้อนตก 304.8 มิลลิเมตร (12 นิ้ว) สำหรับแบบมาตรฐาน และใช้ค้อน (Rammer) หนัก 4.537 กิโลกรัม (10.0 ปอนด์) ระยะปล่อยค้อนตก 457.2 มิลลิเมตร (18 นิ้ว) สำหรับแบบสูงกว่ามาตรฐาน

ขั้นตอนการทดสอบมีดังนี้

- (1) วัดขนาดเส้นผ่านศูนย์กลาง ความสูงของแบบ เพื่อหาปริมาตรของดินในแบบจากนั้น ประกอบแบบและ แท่งโลหะรอง พร้อมซั่งน้ำหนัก
- (2) นำดินตัวอย่างไปอบแห้งในตู้อบ แล้วนำมา่อนผ่านตะแกรงเบอร์ 3/4 นิ้ว ส่วนที่ค้างบนตะแกรงให้ทิ้งไป และให้ใช้ดินที่ผ่านตะแกรงเบอร์ 3/4 นิ้ว
- (3) การทดสอบแบบมาตรฐาน ซึ่งตัวอย่างดินที่เตรียมไว้ ประมาณ 3,000 กรัม และการทดสอบแบบสูงกว่ามาตรฐาน ซึ่งตัวอย่างดินที่เตรียมไว้ ประมาณ 6,000 กรัม เพื่อทำการทดสอบได้ไม่น้อยกว่า 4 ครั้ง

- (4) นำตัวอย่างมาคลุกเคล้าจนเข้ากัน เติมปริมาณน้ำ โดยจะเริ่มน้ำประมาณ 4% ต่ำกว่า ปริมาณน้ำในดินที่ให้มีความหนาแน่นสูงสุด (Optimum Moisture Content) และ คลุกเคล้าด้วยมือจนเข้ากัน
- (5) นำตัวอย่างใส่ลงไปในแบบซึ่งมีปลอกสามเรียบร้อย โดยให้ดินแต่ละชั้น เมื่อบดอัด แล้วมีความสูงประมาณ 1/3 ของ 127 มิลลิเมตร (5 นิ้ว) สำหรับการบดอัดแบบ มาตรฐาน และมีความสูงประมาณ 1/5 ของ 127 มิลลิเมตร (5 นิ้ว) สำหรับการบด อัดแบบสูงกว่ามาตรฐาน
- (6) ทำการบดอัด โดยใช้ค้อน 25 ครั้งต่อชั้นสำหรับแบบ (mold) ขนาดเล็ก และ 56 ครั้งสำหรับแบบ (mold) ใหญ่ การบดอัดแบบมาตรฐานทำการบดอัดตัวอย่างเป็น ชั้น ๆ จนครบ 3 ชั้น และการทดสอบแบบสูงกว่ามาตรฐานทำการบดอัดตัวอย่าง เป็นชั้น ๆ จนครบ 5 ชั้น
- (7) ถอดปลอกออก ใช้เหล็กปัดแต่งหน้าให้เรียบและใช้ค้อนทุบให้แน่นจนได้ระดับขอบ บนของแบบ นำตัวอย่างไปซึ่งและจดบันทึกค่า แล้วนำตัวอย่างดินใส่กระป๋องอบดิน แล้วนำไปซึ่งและจดบันทึกค่า เพื่อหาปริมาณน้ำในดิน
- (8) การทำการทดสอบในอัตราส่วนต่อไปจะเพิ่มปริมาณน้ำในดินขึ้นอีกครั้งละ 2% จนกว่าจะได้ความหนาแน่นลดลงเจងหยุดการทดลองหรือลดน้ำที่ผสม
- (9) คำนวณหาค่าความหนาแน่นเบิก ความหนาแน่นแห้ง เมื่อหาราปริมาณน้ำในดิน
- (10) เขียนกราฟความสัมพันธ์ระหว่างความหนาแน่นแห้ง และปริมาณน้ำในดิน

2.2.4 ทล.-ท. 109 การทดสอบหาค่า CBR แบบสูงกว่ามาตรฐาน (AASHTO T 193)

วัตถุประสงค์ เพื่อหาค่าเบรียบเทียบ Bearing Value ของวัสดุตัวอย่างกับวัสดุหินมาตรฐาน เมื่อทำการบดอัดตัวอย่างนั้นโดยใช้ค้อนบดอัดในแบบ (Mold) ที่ปริมาณน้ำในดินที่เหมาะสม (Optimum Moisture Content) ซึ่งนำมาใช้ออกแบบโครงสร้างของถนนและใช้ควบคุมงานในการ บดอัดให้ได้ความแน่นและความชื้นตามต้องการ
ขั้นตอนการทดสอบมีดังนี้

- (1) วัดขนาดเส้นผ่านศูนย์กลาง ความสูงของแบบ เพื่อหามาตรฐานของดิน จากนั้น ประกอบแบบ และแห้งโลหะรอง พร้อมซึ่งน้ำหนัก แล้วนำแห้งโลหะและกระดาษ กรองใส่ลงไปในแบบ
- (2) นำดินตัวอย่างไปอบแห้งในตู้อบ และนำมาร่อนผ่านตะแกรงเบอร์ 3/4 นิ้ว ส่วนที่ค้าง บนตะแกรงให้ทิ้งไป และให้เข้าดินที่ผ่านตะแกรงเบอร์ 3/4 นิ้ว
- (3) ซึ่งตัวอย่างดินที่เตรียมไว้ ประมาณ 6,000 กรัม
- (4) ทำการบดอัดตัวอย่างดินที่ความชื้นที่เหมาะสมที่ให้ที่ความแน่นสูงสุด 3 ตัวอย่างโดย ทำการบดอัดตัวอย่างละ 5 ชั้น ตัวอย่างแรกบดอัด 12 ครั้งต่อชั้น ตัวอย่างที่สองบด อัด 25 ครั้งต่อชั้นและตัวอย่างสามบดอัด 56 ครั้งต่อชั้น เมื่อบดอัดเรียบร้อยแล้ว

ตลอดปีกอกออก ใช้เหล็กป่าดแต่งหน้าให้เรียบและใช้ค้อนทุบให้แน่นจนได้ความสูง เท่าระดับขอบของแบบ

- (5) คลายสกรูที่ยึดระหว่างแผ่นฐาน และแบบ นำแท่งโลหะรองออกจากแผ่นฐาน วางกระดาษกรองแผ่นใหม่ลงบนแผ่นฐาน พลิกแบบโดยให้ด้านล่างของแบบอยู่ด้านบนแล้วประกอบกับแผ่นฐานขันสกรูและใส่ปลอกเข้าที่
- (6) นำแผ่นวัดการขยายตัวพร้อมแผ่นถ่วงน้ำหนักจำนวน 2 อัน สำหรับวัดพื้นทาง วัดดู รองพื้นทางและวัสดุคิดเลือก และ 3 อัน สำหรับวัดคุณค่านทาง วางลงบนตัวอย่างให้แนบสนิท แล้วนำลงแขวน้ำให้ทั่วทั่วอย่างให้หมด พร้อมวางก้านสามขาลงบนปลอกของแบบแล้วปรับ Dial Gauge อยู่กึ่งกลางบนก้านของแผ่นวัดการขยายตัว จดบันทึกครบกำหนด 4 วัน
- (7) นำตัวอย่างขึ้นจากน้ำ ยกแผ่นวัดการขยายตัวพร้อมแผ่นถ่วงน้ำหนักออกตะแคงแบบให้น้ำไหลออกประมาณ 15 นาที ทำการซึ่งหมาย แล้วนำตัวอย่างเพื่อทดสอบ Penetration Test โดยทันที
- (8) นำตัวอย่างขึ้นตั้งบนที่ตั้งของเครื่องกด ตั้งให้ท่อนกดอยู่ตรงพอดีกับกึ่งกลางรูของแผ่นถ่วงน้ำหนักหมุนเครื่องให้แผ่นฐานเคลื่อนขึ้น จนท่อนกดสัมผัสถักกับผิวน้ำของตัวอย่าง ตั้งหน้าปัดของเครื่องวัดแรง (Proving Ring) และ Dial Gauge ที่วัด Penetration ให้เป็นศูนย์
- (9) เพิ่มแรงลงบนท่อนกด ตามวิธีการของเครื่องกดนั้น ๆ ด้วยอัตราเร็วที่สม่ำเสมอ ห่างกับ 1.27 มิลลิเมตร (0.05 นิ้ว) ต่อนาที โดยการอ่าน Penetration Dial Gauge เทียบกับนาฬิกาจับเวลา แล้วทำการบันทึกแรงกด เมื่อเสร็จแล้วลายแรงที่กดออกนำตัวอย่างพร้อมแบบออกจากแท่นของเครื่องกดโดยแผ่นถ่วงน้ำหนักออก
- (10) นำตัวอย่างบริเวณที่ถูกท่อนกด ๆ ลงไปเป็นรูหาปริมาณน้ำในдин
- (11) ทดสอบ Penetration Test ของตัวอย่างที่เตรียมไว้อีก 2 ตัวอย่าง โดยวิธีเดียวกัน
- (12) เขียน Curve ระหว่างแรงกดและระยะท่อนกดคงลงในตัวอย่าง (Stress vs. Penetration) เพื่อหาค่า CBR เมื่อได้ค่า CBR ของแต่ละตัวอย่างแล้ว เขียน Curve ระหว่างค่า CBR กับค่าความหนาแน่นแห้ง (Dry Density) เพื่อหาค่า CBR ที่ปรับเข็นต์ของการบดอัดที่ต้องการ

2.2.5 การทดสอบกำลังรับน้ำหนักของดินโดยวิธี Plate Load Test

วัตถุประสงค์เพื่อหาความสัมพันธ์ระหว่างน้ำหนักกดกับการทรุดตัว โดยให้น้ำหนักสถิตย์กดผ่านแผ่นเหล็กปูวงกลมหลายขนาดที่วางช้อนกัน และไม่กระทำชำ្លោ (ให้น้ำหนักรอบเดียว) เพื่อใช้คำนวณค่า Modulus of subgrade reaction (k) และประเมินค่ารับน้ำหนักของดินฐานราก

ขั้นตอนและวิธีการทดสอบมีดังนี้

- (1) เตรียมพื้นที่ทดสอบให้เรียบและได้ระดับ โดยใช้ทรายผสมกับปูนปลาสเตอร์หรือปูนปลาสเตอร์อย่างเดียว หรืออาจจะเป็นทรายละเอียดก็ได้

- (2) วางแผนเหล็กขนาด 12×12 นิ้ว ลงตรงศูนย์กลางบริเวณที่ต้องการทดสอบ
- (3) วางแผนเหล็กขนาดที่เหลือลงบนแผ่นแรกให้ร่วมศูนย์กันทุกแผ่น
- (4) การทดสอบแบบ unconfined ของชั้นดินที่ระดับลึกลงไปจากผิวดินให้ขุดดินหรือวัสดุโดยรอบออกให้มีระยะห่างจากขอบแผนเหล็ก 1 หรือ 1.5 เท่า ของเส้นผ่านศูนย์กลางของแผนเหล็ก
- (5) ติดตั้งไดอลเกจไว้บนแผ่นเหล็กแผ่นล่างสุดเพื่อวัดค่าการเคลื่อนที่ทางดิ่งของแผ่นเหล็ก ในกรณีใช้เกจ 2 อัน ให้ติดไว้ตรงข้ามกัน และห่างจากขอบแผนเหล็ก 1 นิ้ว ในกรณีใช้เกจ 4 ตัว ให้ติดตั้งโดยติดที่มุมทั้งสี่ของแผนเหล็ก ให้เนลี่ยค่าที่อ่านได้จากไดอลเกจทุกตัว เป็นค่าการทรุดตัวโดยเฉลี่ย
- (6) ถอยรถบรรทุกให้กึ่งกลางเพลาอยู่บนกึ่งกลางของแผนเหล็ก ติดตั้งแม่แรงไฮดรอลิกบนแผ่นเหล็กโดยให้แกนอยู่กึ่งกลางเพลาลดยนต์พอดี
- (7) เมื่อติดตั้งเครื่องมือทั้งหมดเรียบร้อย เริ่มให้น้ำหนักเริ่มต้น โดยการเพิ่มน้ำหนัก และลดลงอย่างรวดเร็ว โดยน้ำหนักที่ให้ต้องเพียงพอให้เกิดการทรุดตัวไม่น้อยกว่า 0.01 นิ้ว และไม่เกิน 0.02 นิ้ว เมื่อเข้มของเกจหยุดนิ่งหลังจากลดน้ำหนัก ให้กดน้ำหนักลงบนแผ่นเหล็กอีกรอบซึ่งประมาณครึ่งหนึ่งของน้ำหนักที่ทำให้เกิดการทรุดตัวระหว่าง 0.01 – 0.02 นิ้วตังกล่าว (ค่าน้ำหนักนี้เรียกว่า seating load) เมื่อเข้มหยุดนิ่งจึงถึงค่าเริ่มต้นของเกจทุกตัว
- (8) ก่อนให้น้ำหนักควรวางแผนให้รอบคอบโดยพิจารณาค่าน้ำหนักสูงสุดที่เครื่องมือสามารถทดสอบได้ (หรือพิจารณา_n้ำหนักที่ใช้ในการออกแบบ) แล้วแบ่งค่าน้ำหนักทดสอบออกเป็นช่วง ๆ ที่เท่ากัน ทั้งนี้จำนวนช่วงที่แบ่งควรจะไม่น้อยกว่า 6 ช่วง เพื่อให้เพียงพอสำหรับสร้างความสมัมพันธ์ระหว่างน้ำหนัก และการทรุดตัว (Load – Deflection)
- (9) เริ่มให้น้ำหนักทีละช่วงตามที่แบ่งไว้ในข้อ (8) ในแต่ละช่วงน้ำหนักทีกด ให้รอจนกระแทกต่อการทรุดตัวไม่เกิน 0.001 นิ้ว (0.03 มิลลิเมตร) ต่อนาที ในช่วงเวลาสามนาทีติดต่อกัน จึงอ่านค่าการทรุดตัว และหากค่าเฉลี่ยของการทรุดตัวจากค่าที่อ่านได้จากเกจทั้งหมด
- (10) เพิ่มน้ำหนักลดจนกระแทกต่อการทรุดตัวถึงที่กำหนดไว้ (โดยปกติใช้การทรุดตัว 25 มิลลิเมตร) หรือจนกระแทกต่อการทรุดตัวไม่เกิน 0.001 นิ้ว (0.03 มิลลิเมตร) ต่อนาที ในช่วงเวลาสามนาทีติดต่อกัน บันทึกค่าการทรุดตัว หลังจากนั้นค่อยลดน้ำหนักลดจนกระแทกต่อการทรุดตัว น้ำหนักลดจนกระแทกต่อการทรุดตัวค่า Seating load คงน้ำหนักนี้ไว้จนอัตราการคืนตัวไม่เกิน 0.001 นิ้วต่อนาที ในช่วงสามนาทีติดต่อกัน บันทึกค่าการทรุดตัวที่ Seating load นำผลทดสอบที่ได้จากขั้นตอนทดสอบ (8) ถึง (10) ไปเขียนความสัมพันธ์ระหว่างน้ำหนักกด และการทรุดตัว

บทที่ 3

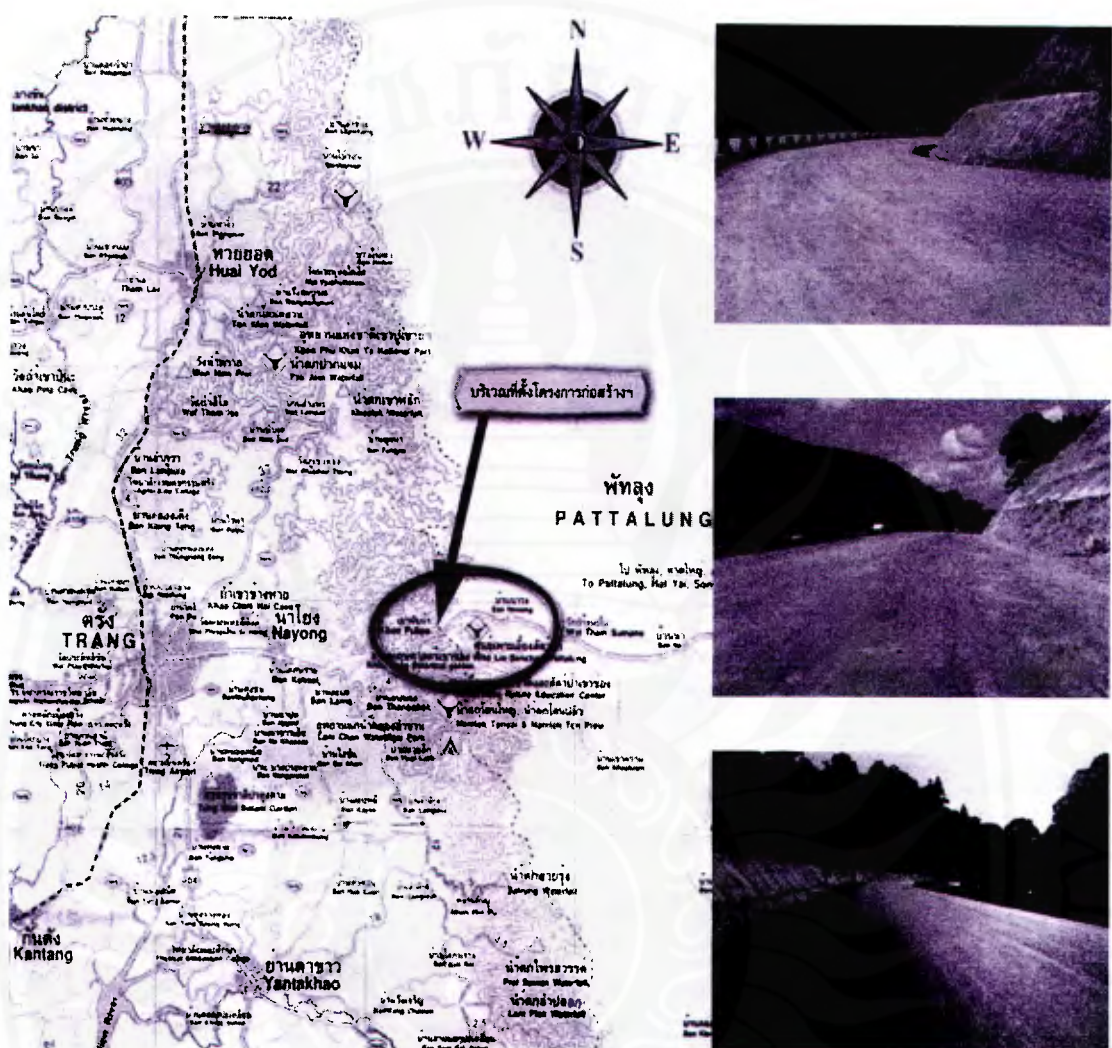
วิธีการศึกษา

3.1 บทนำ

งานวิจัยนี้เก็บรวบรวมข้อมูลผลการทดสอบการบดอัด และ CBR ในห้องปฏิบัติการของตินวัสดุชั้นทางซึ่งเป็นดินเหนียวปนทรายจากโครงการก่อสร้างทางหลวงแผ่นดินหมายเลข 4 สายพัทลุง-ตรัง (ช่วงเข้าพับผ้า) ตอน บ้านนาโยงเนื้อ-เข้าพับผ้า (นาวงศ์) จุดเริ่มต้นโครงการที่ กม. 36+450.000 ถึง กม. 47+000.000 ของสำนักวิเคราะห์และตรวจสอบ กรมทางหลวง ซึ่งมีระยะทางรวมทั้งสิ้น 10.550 กิโลเมตร (แสดงในรูปที่ 3.1) ดินตัวอย่างทั้งหมดเป็นดินที่มีความคละตามข้อกำหนดของกรมทางหลวง ผลทดสอบทั้งหมดจะนำมาสร้างความสัมพันธ์ระหว่างค่า CBR และ ค่าความแน่นแห้งสูงสุด (Maximum dry density) เพื่อใช้เป็นค่าควบคุมการทดสอบ และแนะนำวัสดุสำหรับงานชั้นทางของโครงการฯ นอกจากข้อมูลที่ได้เก็บรวบรวมจากการทดสอบแล้วได้มีการเก็บดินตัวอย่างจากจุดที่ทำการทดสอบ Plate Load Test มาทำการทดสอบภายในห้องปฏิบัติการ เพื่อเปรียบเทียบและเป็นข้อมูลในการวิเคราะห์เพิ่มเติมด้วย

3.2 แผนงานดำเนินการ

งานวิจัยนี้ประกอบด้วยงานหลักสองส่วน ส่วนแรกเป็นการรวบรวมผลการทดสอบในห้องปฏิบัติการ และในสนามผลการทดสอบในสนามประกอบด้วยผลทดสอบคุณสมบัติพื้นฐาน (การกระจายขนาดของเม็ดดิน และพิกัด Atterberg) ผลทดสอบการบดอัด และผลทดสอบ CBR ข้อมูลผลการทดสอบทั้งหมด รวบรวมจากโครงการฯ สายพัทลุง-ตรัง (ช่วงเข้าพับผ้า) ตอน บ้านนาโยงเนื้อ-เข้าพับผ้า (นาวงศ์) สำนักวิเคราะห์และตรวจสอบ กรมทางหลวง และส่วนที่สองเป็นการรวบรวมผลการทดสอบ Plate Load Test จากโครงการเดียวกันนี้และผลการทดสอบอื่นที่เกี่ยวข้อง และนำข้อมูลทั้งหมดมาทำการวิเคราะห์ตามจุดประสงค์ของโครงการฯ ซึ่งได้กล่าวไว้ในขั้นตอน



รูปที่ 3.1 ที่ตั้งโครงการ ตำแหน่งการเก็บตัวอย่างและทำการทดสอบดิน

3.3 ขั้นตอนการทดสอบในห้องปฏิบัติการ

ดินตัวอย่างที่รวบรวมมาจะผ่านการทดสอบตามมาตรฐานของกรมทางหลวง โดยดินตัวอย่างจากสายทางต่างๆ จะอบให้แห้ง และแบ่งตัวอย่างให้ได้ปริมาณเพียงพอต่อการทดสอบด้วยเครื่องแบ่งตัวอย่างตาม มาตรฐานการทดสอบของกรมทางหลวง เป็นดังนี้

3.3.1 ทล.-ท. 205 การทดสอบหาขนาดเม็ดของวัสดุโดยผ่านตะแกรงแบบล้ำง (AASHTO T 27 – 70)

3.3.2 ทล.-ท. 102 การทดสอบหาค่า Liquid Limit (L.L.) (AASHTO T 80) และทล.-ท. 103 การทดสอบหาค่า Plastic Limit (P.L.) และ Plasticity Index (P.I.) (AASHTO T 90)

3.3.3 ทล.-ท. 107 การทดสอบ Compaction Test (AASHTO T 99) และ ทล.-ท. 108 การทดสอบ Compaction Test แบบสูงกว่ามาตรฐาน (AASHTO T 180)

3.3.4 ทล.-ท. 109 การทดสอบหาค่า CBR แบบสูงกว่ามาตรฐาน (AASHTO T 193)

3.3.5 การทดสอบกำลังรับน้ำหนักของดินโดยวิธี Plate Load Test

3.4 การประยุกต์โปรแกรมเพื่อใช้คำนวณหาค่าแรงเค้นต้านทานในดิน

การประยุกต์ใช้โปรแกรมเพื่อการประมาณผลการคำนวณหาค่าแรงต้านแรงเฉือนในดินสูงสุด และเขียนกราฟการทรุดตัวและการคืนตัวของดินเมื่อไส้น้ำหนักบรรทุกและค่อยๆลดน้ำหนักบรรทุก โดยใช้โปรแกรมไมโครซอฟท์อฟฟิศ เอ็กเซล 2007 (Microsoft Excel 2007) เพื่อวิเคราะห์และประมาณโดยมีขั้นตอนดังนี้

1. รวบรวมข้อมูลที่ได้จากภาคสนาม
2. นำข้อมูลที่ได้กรอกลงในตารางที่กำหนดในโปรแกรมไมโครซอฟท์อฟฟิศ เอ็กเซล 2007
3. ข้อมูลที่กรอกลงในตารางจะแสดงในรูปของกราฟที่หน้ารายงาน
4. ข้อมูลจากข้อ 2 จะแสดงรายงานค่าแรงกดสูงสุด ค่าการทรุดตัวสูงสุด และค่าความเค้นต้านทานของดินสูงสุด โดยการคำนวณค่าความเค้นสูงสุดได้จากการที่ 3.1

$$\sigma_{max} = \frac{P_{max}}{A} \quad (3.1)$$

โดยที่

σ_{max} = ค่าแรงเค้นต้านทานสูงสุดของดิน; ตัน/ตารางเมตร

P_{max} = แรงกดสูงสุด; ตัน

A = พื้นที่กระทำบนตำแหน่งดินที่ทดสอบ; ตารางเมตร

= $\pi d^2/4$

d = เส้นผ่าศูนย์กลางของแผ่นทดสอบ; เมตร

3.5 วิธีการดำเนินการวิจัย และสถานที่ทำการทดลอง/เก็บข้อมูล

1. ศึกษาการหาค่ารับน้ำหนักบรรทุกของดินในงานถนนโดยวิธี Plate Load Test ประมาณ 4 ตำแหน่ง
2. สำรวจพื้นที่เพื่อหาระยะห่างตัวอย่างดินที่เหมาะสม

3. นำตินบริเวณที่ทดสอบหาคุณสมบัติพื้นฐานในห้องปฏิบัติการซึ่งประกอบด้วย
 - การหาค่าความชื้น
 - หน่วยน้ำหนักของดิน (Unit Weight)
 - การหาค่าพิกัดอัตเตอร์เบิร์ก (Atterberg Limits)
 - การหาลักษณะการกระจายตัวของเม็ดดิน (Grain size distribution)
4. ทำการทดสอบ CBR เพื่อหาค่าเปรียบเทียบ Bearing Value ของวัสดุตัวอย่างกับวัสดุที่นำมาตรฐาน เมื่อทำการบดอัดตัวอย่างนั้นโดยใช้ค้อนบดอัดในแบบ (Mold) ที่ปริมาณน้ำในดินที่เหมาะสม (Optimum Water Content) ซึ่งนำมาใช้ออกแบบโครงสร้างของถนนและใช้ควบคุมงานในการบดอัดให้ได้ความแน่นและความชื้นตามต้องการ
5. คำนวณหาค่าความสัมพันธ์ของข้อมูลดิน โดยประยุกต์ใช้โปรแกรมเพื่อใช้ในการวิเคราะห์ เช่น Excel, Visual Basic เป็นต้น
6. สรุปผลและจัดทำรายงาน

บทที่ 4

ผลการทดสอบ

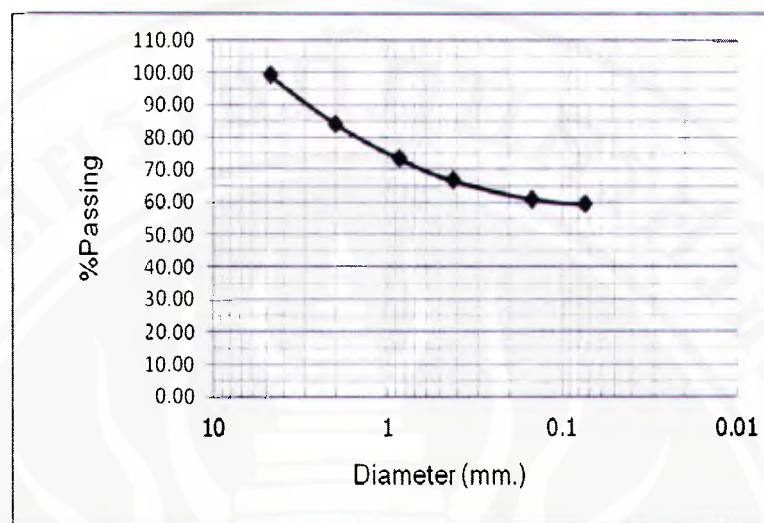
ผลการศึกษาคุณสมบัติของดินในงานวิจัยนี้ได้นำดินฐานรากจากโครงการเร่งรัดขยายทางสายประรานให้เป็น 4 ช่องจราจร ทางหลวงหมายเลข 4 สายตั้ง – พัทลุง ตอนบ้านนาโยงเนื้อ – เข้าพับผ้า(บ้านนาวงศ์) มาศึกษา โดยกำหนดให้ดินฐานราก ที่ กม. 40+860 เป็นดินชุดที่ 1 ดินฐานราก ที่ กม. 43+350 เป็นดินชุดที่ 3 และ ดินฐานราก ที่ กม. 44+562 เป็นดินชุดที่ 4 ส่วนดินตัวอย่างชุดที่ 2 ไม่ได้ทำการทดสอบแต่จำแนกดินด้วยสายตา โดยผลการทดสอบดินทั้งหมดได้นำเสนอเป็นลำดับดังต่อไปนี้

4.1 ผลการหาขนาดโดยวิธีการร่อนผ่านตะแกรง

ผลการหาขนาดดินโดยวิธีร่อนผ่านตะแกรงของดินฐานราก ที่ กม. 40+860 เป็นดินชุดที่ 1 ได้แสดงผลการทดสอบไว้ในตารางที่ 4.1 และรูปที่ 4.1 ดินฐานราก ที่ กม. 43+350 เป็นดินชุดที่ 3 ได้แสดงผลการทดสอบไว้ในตารางที่ 4.2 และรูปที่ 4.2 ดินฐานราก ที่ กม. 44+562 เป็นดินชุดที่ 4 ได้แสดงผลการทดสอบไว้ในตารางที่ 4.3 และรูปที่ 4.3

ตารางที่ 4.1 การหาขนาดโดยวิธีการร่อนผ่านตะแกรงแบบล้ำ กม. 40+860

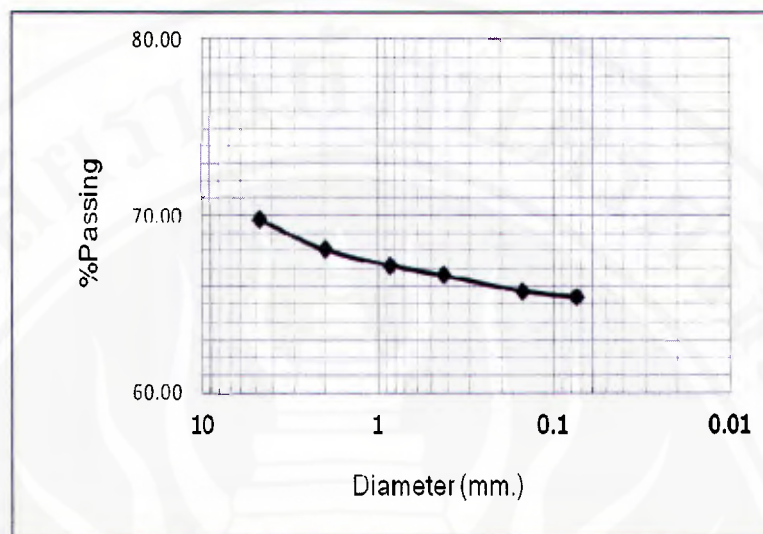
SIEVE NO.	WT.OF SIEVE gm.	WT. OF SOIL+SIEVE gm.	WT. OF SOIL RETAINED gm.	PERCENT RETAINED %	PERCENT PASSING %
4	489.59	494.81	5.22	1.04	98.96
10	491.36	565.61	74.25	14.86	84.09
20	372.16	426.59	54.43	10.89	73.20
40	337.87	371.21	33.34	6.67	66.52
100	311.67	340.45	28.78	5.76	60.76
200	301.41	309.82	8.41	1.68	59.08
PAN	282.59	282.82	295.16	59.08	0.00
			499.59		



รูปที่ 4.1 กราฟการกระจายตัวของเม็ดดิน กม. 40+860

ตารางที่ 4.2 ผลการทดสอบการหาน้ำด้วยวิธีการร่อนผ่านตะแกรงแบบลัง กม. 44+562

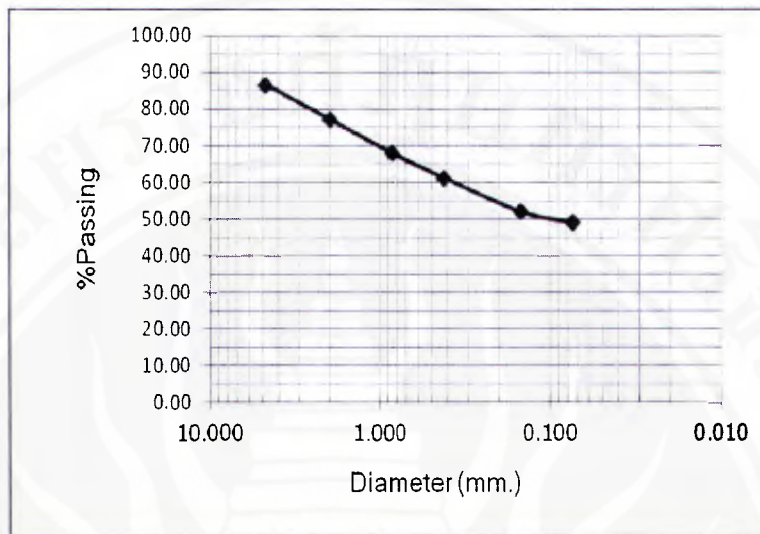
SIEVE NO.	WT.OF SIEVE gm.	WT. OF SOIL+SIEVE gm.	WT. OF SOIL RETAINED gm.	PERCENT RETAINED %	PERCENT PASSING %
4	489.58	640.57	150.99	30.20	69.80
10	491.17	499.62	8.45	1.69	68.11
20	372.09	376.52	4.43	0.89	67.23
40	337.81	340.69	2.88	0.58	66.65
100	311.61	316.07	4.46	0.89	65.76
200	302.10	303.80	1.70	0.34	65.42
PAN	282.62	282.92	327.09	65.42	0.00
			500.00		



รูปที่ 4.2 กราฟการกรرزายตัวของเม็ดดิน กม. 44+562

ตารางที่ 4.3 ผลการทดสอบการหาขนาดโดยวิธีการร่อนผ่านตะแกรงแบบล้ำ กม. 43+350

SIEVE NO.	WT.OF SIEVE gm.	WT. OF SOIL+SIEVE gm.	WT. OF SOIL RETAINED gm.	PERCENT RETAINED %	PERCENT PASSING %
4	489.60	556.53	66.93	13.39	86.61
10	491.16	537.90	46.74	9.35	77.27
20	372.06	418.08	46.02	9.20	68.06
40	337.81	371.54	33.73	6.75	61.32
100	311.62	357.61	45.99	9.20	52.12
200	301.39	316.48	15.09	3.02	49.10
PAN	282.54	283.60	245.50	49.10	0.00
			500.00		



รูปที่ 4.3 กราฟการกระจายตัวของเม็ดดิน กม. 43+350

จากการทดสอบการร่อนผ่านตะแกรงของดิน โดยกำหนดให้ ดินฐานราก กม. 40+860 เป็นดินชุดที่ 1 ดินฐานราก กม. 43+350 เป็นดินชุดที่ 3 และ ดินฐานราก กม. 44+562 เป็นดินชุดที่ 4 พบว่า

- ดินตัวอย่าง กม. 40+860 มีค่าเบอร์เช็นต์ผ่านตะแกรงเบอร์ 200 เท่ากับ 59.08 เปอร์เซ็นต์
- ดินตัวอย่าง กม. 43+350 มีค่าเบอร์เช็นต์ผ่านตะแกรงเบอร์ 200 เท่ากับ 49.10 เปอร์เซ็นต์
- ดินตัวอย่าง กม. 44+562 มีค่าเบอร์เช็นต์ผ่านตะแกรงเบอร์ 200 เท่ากับ 65.42 เปอร์เซ็นต์

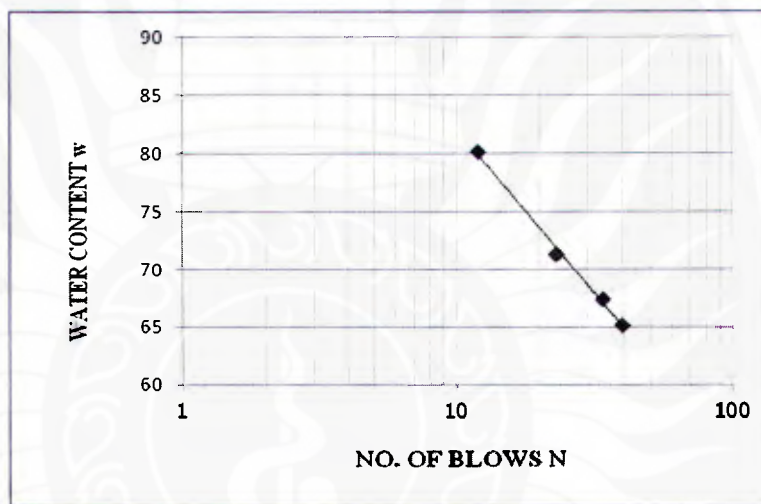
จากข้อมูลดังกล่าวข้างต้น สามารถสรุปได้ว่า ดินชุดที่ 1 และ 4 เป็นดินเม็ดละเอียดประเภทดินเหนียว เนื่องจากมีค่าเบอร์เช็นต์ผ่านตะแกรงเบอร์ 200มากกว่า 50 ส่วนดินชุดที่ 2 เป็นดินเม็ดหยาบประเภททราย เนื่องจากมีค่าเบอร์เช็นต์ผ่านตะแกรงเบอร์ 200 น้อยกว่า 50

4.2 ผลการทดสอบ LIQUID LIMIT และ PLASTIC LIMIT

ผลการทดสอบ LIQUID LIMIT และ PLASTIC LIMIT ของดินฐานราก ที่ กม. 40+860 เป็นดินชุดที่ 1 ได้แสดงผลการทดสอบไว้ในตารางที่ 4.4 และรูปที่ 4.4 ดินฐานราก ที่ กม. 43+350 เป็นดินชุดที่ 3 ได้แสดงผลการทดสอบไว้ในตารางที่ 4.5 และรูปที่ 4.5 ดินฐานราก ที่ กม. 44+562 เป็นดินชุดที่ 4 ได้แสดงผลการทดสอบไว้ในตารางที่ 4.6 และรูปที่ 4.6

ตารางที่ 4.4 ผลการทดสอบ LIQUID LIMIT และ PLASTIC LIMIT กม. 40+860

CAN NO.	1	2	3	4
WET SOIL + CAN (gm)	42.02	42.75	40.78	43.51
DRY SOIL + CAN (gm)	38.65	39.92	38.29	39.60
WT. OF CAN (gm)	34.44	35.95	34.60	33.59
WT. OF WATER (gm)	3.37	2.83	2.49	3.91
WT. OF DRY SOIL (gm)	4.21	3.97	3.69	6.01
WATER CONTENT %	80.14	71.28	67.50	65.09
NO. OF BLOWS N	12	23	34	40

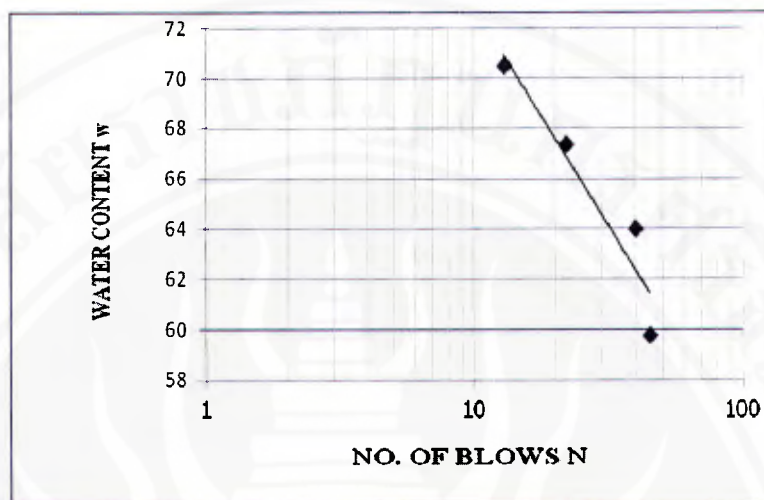


รูปที่ 4.4 กราฟความสัมพันธ์ระหว่างความชื้นกับจำนวนครั้งที่เคาะ กม. 40+860

ผลการทดสอบจากตารางที่ 4.4 พบว่า ค่า L.L. = 70.00 % , P.L. = 32.29 % , P.I. = 37.71 %

ตารางที่ 4.5 ผลการทดสอบ LIQUID LIMIT และ PLASTIC LIMIT กม. 43+350

CAN NO.	1	2	3	4
WET SOIL + CAN (gm)	41.02	45.13	41.33	46.43
DRY SOIL + CAN (gm)	38.27	40.84	38.31	42.70
WT. OF CAN (gm)	34.37	34.47	33.59	36.46
WT. OF WATER (gm)	2.75	4.29	3.02	3.73
WT. OF DRY SOIL (gm)	3.9	6.37	4.72	6.24
WATER CONTENT %	70.51	67.35	63.98	59.78
NO. OF BLOWS N	13	22	40	45

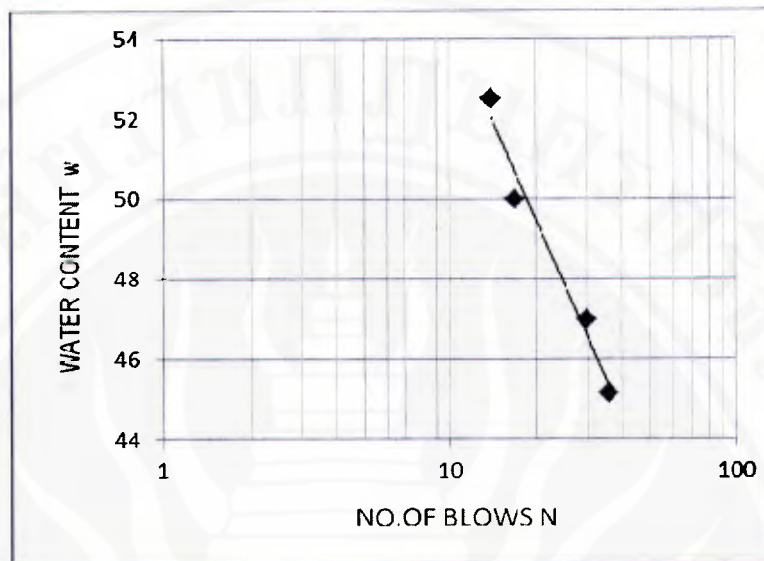


รูปที่ 4.5 กราฟความสัมพันธ์ระหว่างความชื้นกับจำนวนครั้งที่เคาะ กม. 43+350

ผลการทดสอบจากตารางที่ 4.5 พบร่วมค่า L.L. = 66.00%, P.L. = 31.74%, P.I. = 34.26%

ตารางที่ 4.6 ผลการทดสอบ LIQUID LIMIT และ PLASTIC LIMIT กม. 44+562

CAN NO.	1	2	3	4
WET SOIL + CAN (gm)	41.07	42.13	39.91	40.83
DRY SOIL + CAN (gm)	38.64	39.41	37.97	38.74
WT. OF CAN (gm)	34.01	33.97	33.84	34.11
WT. OF WATER (gm)	2.43	2.72	1.94	2.09
WT. OF DRY SOIL (gm)	4.63	5.44	4.13	4.63
WATER CONTENT (%)	52.48	50.0	46.97	45.14
NO. OF BLOWS (N)	14	17	30	36



รูปที่ 4.6 กราฟความสัมพันธ์ระหว่างความชื้นกับจำนวนครั้งที่叩击 กม. 44+562

ผลการทดสอบจากตารางที่ 4.6 พบร้า ค่า L.L. = 48.00%, P.L. = 26.91% , P.I. = 21.09%

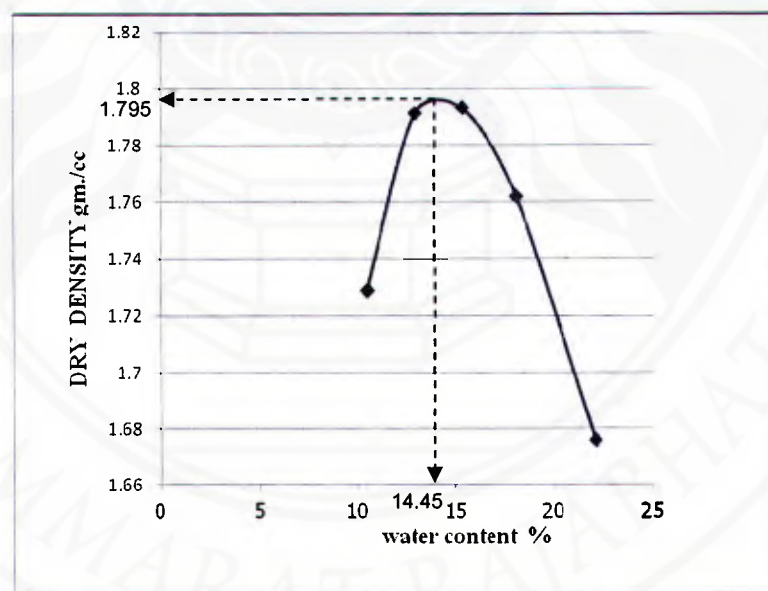
จากการทดสอบของดินทั้ง 3 ชุดพบว่า ดินทั้งหมดมีดินเหนียวเป็นองค์ประกอบ เนื่องจาก พบร้า มีค่าตัดขึ้นค่าความเหนียวของดิน (Plasticity Index) หรือ ค่า PI โดยที่ ดินฐานราก กม. 40+860 เป็นดินชุดที่ 1 เป็นดิน CH เนื่องจากมีค่า L.L.มากกว่า 50% และดินฐานราก กม. 44+562 เป็นดิน ชุดที่ 4 CL เนื่องจากมีค่า L.L. น้อยกว่า 50% ส่วนดินฐานราก กม. 43+350 เป็นดินชุดที่ 3 เป็น กลุ่ม SC เนื่องจากมีรายเป็นสัดส่วนที่มากกว่าดินเหนียว

4.3 ผลการทดสอบ COMPACTION TEST

ผลการทดสอบดินขนาดดินโดย Compaction Test ของดินฐานราก ที่ กม. 40+860 เป็นดินชุดที่ 1 ได้แสดงผลการทดสอบไว้ในตารางที่ 4.7 และรูปที่ 4.7 ดินฐานราก ที่ กม. 43+350 เป็นดินชุดที่ 3 ได้แสดงผลการทดสอบไว้ในตารางที่ 4.8 และรูปที่ 4.8 ดินฐานราก ที่ กม. 44+562 เป็นดินชุดที่ 4 ได้แสดงผลการทดสอบไว้ในตารางที่ 4.9 และรูปที่ 4.9 ตามลำดับ

ตารางที่ 4.7 ผลการทดสอบการบดอัดดินแบบสูงกว่ามาตรฐาน กม. 40+860

TYPE OF COMPACTION : Modified Proctor MOLD VOLUME : 915.32 cc.						
WATER CONTENT DETERMINATION						
SAMPLE No.		1	2	3	4	5
WET SOIL + CAN	gm	91.54	84.90	77.04	73.33	89.85
DRY SOIL + CAN	gm	84.19	76.64	68.77	64.56	76.14
WT. OF CAN	gm	13.80	12.71	14.85	16.01	14.00
WT. OF WATER	gm	7.35	8.26	8.27	8.77	13.71
WT. OF DRY SOIL	gm	70.39	63.93	53.92	48.55	62.14
WATER CONTENT	%	10.44	12.92	15.34	18.06	22.06
DENSITY DETERMINATION						
WT. OF SOIL+ MOLD	gm	5754.5	5858.0	5900.5	5911.5	5882.0
WT. OF MOLD	gm	4007.5	4007.5	4007.5	4007.5	4007.5
WT. OF SOIL IN MOL	gm	1747	1850.5	1893	1904	1874
WET DENSITY	gm/cc	1.909	2.022	2.068	2.080	2.047
DRY DENSITY	gm/cc	1.729	1.791	1.793	1.762	1.676

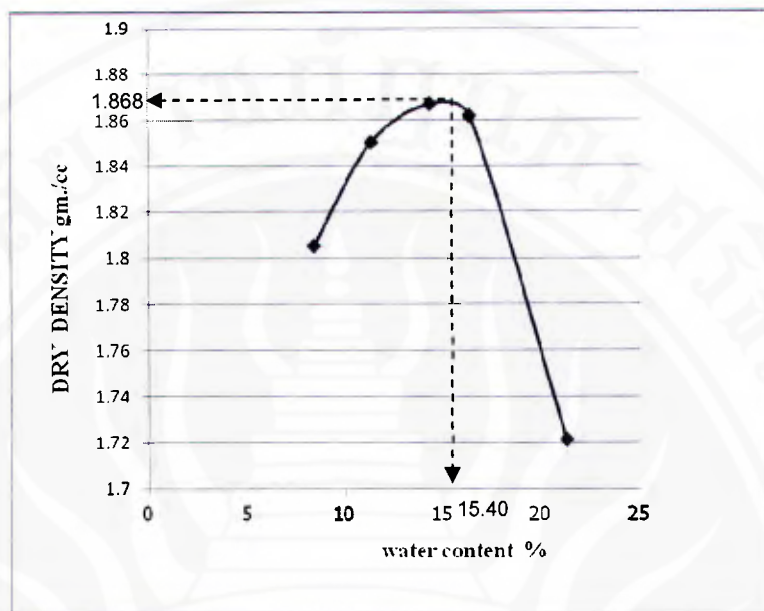


รูปที่ 4.7 กราฟแสดงความสัมพันธ์ระหว่าง Dry Density และเปอร์เซ็นต์ความชื้น กม. 40+860

จากรูปที่ 4.7 การทดสอบพบว่า ค่า Optimum Water Content = 14.45 % และค่า Maximum Dry Density = 1.795 กรัมต่อลูกบาศก์เซนติเมตร

ตารางที่ 4.8 ผลการทดสอบการบดอัดดินแบบสูงกว่ามาตรฐาน กม. 44+562

TYPE OF COMPACTION : Modified Proctor MOLD VOLUME : 915.32 cc.						
WATER CONTENT DETERMINATION						
SAMPLE No.		1	2	3	4	5
WET SOIL + CAN	gm	115.83	109.73	119.65	108.17	121.78
DRY SOIL + CAN	gm	108.03	100.01	106.34	94.70	102.65
WT. OF CAN	gm	15.27	14.10	13.49	12.41	11.89
WT. OF WATER	gm	7.80	9.72	13.31	13.47	19.13
WT.OF DRY SOIL	gm	92.76	85.91	92.85	82.29	90.76
WATER CONTENT	%	8.41	11.31	14.34	16.37	21.28
DENSITY DETERMINETION						
WT. OF SOIL+ MOLD	gm	5799.0	5892.5	5961.5	5990.5	5918.
WT. OF MOLD	gm	4007.5	4007.5	4007.5	4007.5	4007.5
WT. OF SOIL IN MOL	gm	1791.5	1885	1954	1983	1910.5
WET DENSITY	gm/cc	1.957	2.059	2.135	2.166	2.087
DRY DENSITY	gm/cc	1.805	1.850	1.867	1.862	1.721

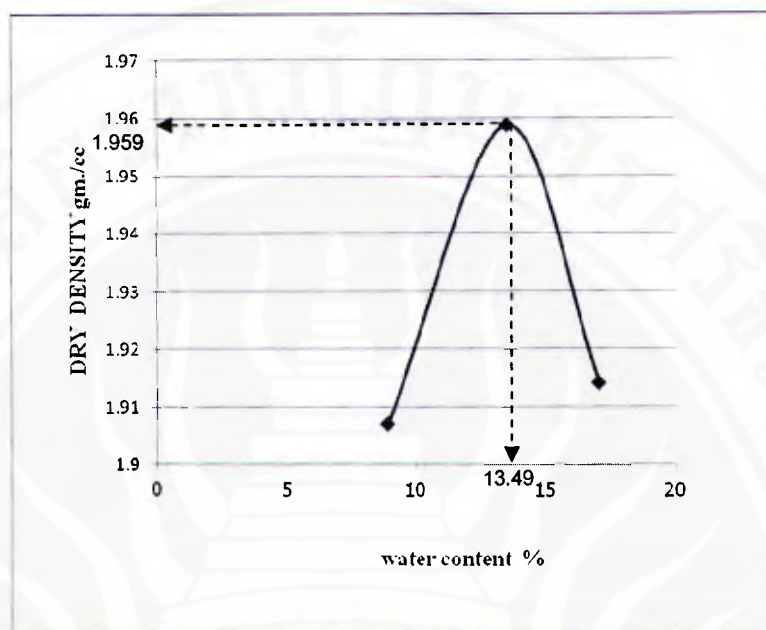


รูปที่ 4.8 กราฟแสดงความสัมพันธ์ระหว่าง Dry Density และเปอร์เซ็นต์ความชื้น กม. 44+562

จากรูปที่ 4.8 การทดสอบพบว่า ค่า Optimum Water Content = 15.40 % และค่า Maximum Dry Density = 1.868 กรัมต่อลูกบาศก์เซนติเมตร

ตารางที่ 4.9 ผลการทดสอบการบดอัดดินแบบสูงกว่ามาตรฐาน กม. 43+350

TYPE OF COMPACTION : Modified Proctor MOLD VOLUME : 915.32 cc.					
WATER CONTENT DETERMINATION					
SAMPLE No.		1	2	3	4
WET SOIL + CAN	gm	116.72	103.14	92.79	
DRY SOIL + CAN	gm	108.34	92.70	81.12	
WT. OF CAN	gm	13.97	15.32	12.70	
WT. OF WATER	gm	8.38	10.44	11.67	
WT.OF DRY SOIL	gm	94.37	77.38	68.42	
WATER CONTENT	%	8.88	13.49	17.06	
DENSITY DETERMINATION					
WT. OF SOIL+ MOLD	gm	5899.0	5987.5	5964.0	
WT. OF MOLD	gm	4007.5	4007.5	4007.5	
WT. OF SOIL IN MOL	gm	1891.5	1980	1956.5	
WET DENSITY	gm/cc	2.066	2.163	2.138	
DRY DENSITY	gm/cc	1.907	1.959	1.914	



รูปที่ 4.9 กราฟแสดงความสัมพันธ์ระหว่าง Dry Density และเปอร์เซ็นต์ความชื้น กม. 43+350

จากรูปที่ 4.9 การทดสอบพบว่า ค่า Optimum Water Content = 13.49% และค่า Maximum Dry Density = 1.959 กรัมต่อลูกบาศก์เซนติเมตร

4.4 ผลการทดสอบหาค่า UNSOAKED CBR

ผลการทดสอบวัดแรงเฉือน (Shearing resistance) ของดินที่บดอัดจนแน่นดีแล้ว (ทดสอบที่ Optimum moisture content) โดยวิธี Unsoaked CBR ของดินฐานราก ที่ กม. 40+860 เป็นดินชุดที่ 1 ได้แสดงผลการทดสอบไว้ในตารางที่ 4.10 ดินฐานราก ที่ กม. 43+350 เป็นดินชุดที่ 3 ได้แสดงผลการทดสอบไว้ในตารางที่ 4.11 และดินฐานราก ที่ กม. 44+562 เป็นดินชุดที่ 4 ได้แสดงผลการทดสอบไว้ในตารางที่ 4.12 ตามลำดับ

ตารางที่ 4.10 ผลการทดสอบหาค่า UNSOAKED CBR แบบสูงกว่ามาตรฐาน กม. 40+860

Water content determination	
can no.	1
Wt. can + wet soil gm	174.13
Wt. can + dry soil gm	153.89
Wt. Of can gm	14.77
Wt. of water gm	20.24
Wt. of dry soil gm	139.12
Water content %	14.55
Density Determination	
Mold Volume	2113.79 cc.
Wt. wet soil + mold gm	11832.5
Wt. of mold gm	7486.5
Wt. of soil in mold gm	4346
Wet Density gm/cc	2.056
Dry Density gm/cc	1.795
Mold no	1
Wt. of hammer lb	10
No of Layer	5
Blows per Layer	56
Percent compaction %	100.0

ตารางที่ 4.10 (ต่อ)

CBR Load Test Data		
Mold no	1	
Wt. of Surcharge(lb)	10	
Penetration (inch.)	Load (lb)	Pressure (psi)
0.025	552.26	184.09
0.050	2084.00	694.67
0.075	3021.80	1007.27
0.100	3501.12	1167.04
0.125	3855.40	1285.13
0.150	4136.74	1378.91
0.175	4407.66	1469.22
0.200	4636.90	1545.63
0.250	5001.60	1667.20
0.300	5345.46	1781.82
0.350	5637.22	1879.07
0.400	5918.56	1972.85
0.450	6179.06	2059.69
0.500	6387.46	2129.15
% CBR at 0.1"	116.7	
% CBR at 0.2"	103.0	

ตารางที่ 4.11 ผลการทดสอบหาค่า UNSOAKED CBR แบบสูงกว่ามาตรฐาน กม.44+562

Water content determination	
can no.	2
Wt. can + wet soil gm	140.44
Wt. can + dry soil gm	123.24
Wt. Of can gm	11.89
Wt. of water gm	17.20
Wt. of dry soil gm	111.35
Water content %	15.45
Density Determination	
Mold Volume 2113.79 cc	
Wt. wet soil + mold gm	11966.0
Wt. of mold gm	7486.5
Wt. of soil in mold gm	4479.50
Wet Density gm/cc	2.119
Dry Density gm/cc	1.836
Mold no	1
Wt. of hammer lb	10
No of Layer	5
Blows per Layer	56
Percent compaction %	98.27

ตารางที่ 4.11 (ต่อ)

CBR Load Test Data			
Mold no	1		
Wt.Of Surcharge(lb)	10		
Penetration INCH.	Load lb	Pressure	PSI
0.025	812.76	270.92	
0.050	1875.60	625.20	
0.075	2521.64	840.55	
0.100	3000.96	1000.32	
0.125	3438.60	1146.20	
0.150	3824.14	1274.71	
0.175	4178.42	1392.81	
0.200	4511.86	1503.95	
0.250	5126.64	1708.88	
0.300	5678.90	1892.97	
0.350	6179.06	2059.69	
0.400	6668.80	2222.93	
0.450	7137.70	2379.23	
0.500	7502.40	2500.80	
% CBR at 0.1"	100.0		
% CBR at 0.2"	100.3		

ตารางที่ 4.12 ผลการทดสอบหาค่า UNSOAKED CBR แบบสูงกว่ามาตรฐาน กม.43+350

Water content determination	
can no.	3
Wt. can + wet soil gm	139.63
Wt. can + dry soil gm	124.83
Wt. Of can gm	15.28
Wt. of water gm	14.80
Wt. of dry soil gm	109.55
Water content %	13.51
Density Determination	
Mold Volume	2113.79 cc
Wt. wet soil + mold gm	12123.3
Wt. of mold gm	7486.50
Wt. of soil in mold gm	4636.80
Wet Density gm/cc	2.194
Dry Density gm/cc	1.933
Mold no	1
Wt. of hammer lb	10
No of Layer	5
Blows per Layer	56
Percent compaction %	98.65

ตารางที่ 4.12 (ต่อ)

CBR Load Test Data				
Mold no	1			
Wt. of Surcharge(lb)	10			
Penetration INCH.	Load	lb	Pressure	PSI
0.025	1750.56		583.52	
0.050	2500.80		833.60	
0.075	3021.80		1007.27	
0.100	3407.34		1135.78	
0.125	3740.78		1246.93	
0.150	4032.54		1344.18	
0.175	4282.62		1427.54	
0.200	4511.86		1503.95	
0.250	4897.40		1632.47	
0.300	5230.84		1743.61	
0.350	5543.44		1847.81	
0.400	5783.10		1927.70	
0.450	5949.82		1983.27	
0.500	6095.70		2031.90	
% CBR at 0.1"	113.6			
% CBR at 0.2"	100.3			

4.5 ผลการทดสอบหาค่า SOAKED CBR

ผลการทดสอบการวัดแรงเฉือนของดินที่บดอัดจนแน่นตีแล้ว โดยวิธี Soaked CBR ของดินฐานราก ที่ กม. 40+860 เป็นดินชุดที่ 1 ได้แสดงผลการทดสอบไว้ในตารางที่ 4.13 ดินฐานราก กม. 41+075 เป็นดินชุดที่ 2 ได้แสดงผลการทดสอบไว้ในตารางที่ 4.14 ดินฐานราก ที่ กม. 43+350 เป็นดินชุดที่ 3 ได้แสดงผลการทดสอบไว้ในตารางที่ 4.15 และดินฐานราก ที่ กม. 44+562 เป็นดินชุดที่ 4 ได้แสดงผลการทดสอบไว้ในตารางที่ 4.16 ตามลำดับ

ตารางที่ 4.13 ผลการทดสอบหาค่า SOAKED CBR แบบมาตรฐาน กม.40+860

CBR Load Test Data				
Type of compaction :	Standard Proctor Test			
Dry Density gm/cc		1.828		
Wt. of hammer lb		5.5		
No of Layer		3		
Blows per Layer		56		
Optimum Water content %		13.5		
Water content %		13.5		
Penetration INCH.	Load lb	Pressure PSI		
0	10.00	3.33		
0.025	164.32	54.77		
0.050	314.58	104.86		
0.075	464.83	154.94		
0.100	598.85	199.62		
0.125	720.68	240.23		
0.150	822.20	274.07		
0.175	923.73	307.91		
0.200	1017.13	339.04		
0.250	1179.57	393.19		
0.300	1313.58	437.86		
% CBR at 0.1" Soaked		20.0		
% CBR at 0.2" Soaked		22.6		

ตารางที่ 4.14 ผลการทดสอบหาค่า SOAKED CBR แบบมาตรฐาน กม. 41+075

CBR Load Test Data				
Type of compaction :	Standard Proctor Test			
Dry Density	gm/cc	2.010		
Wt. of hammer	lb	5.5		
No of Layer		3		
Blows per Layer		56		
Optimum Water content	%	9.4		
Water content	%	9.5		
Penetration INCH.		Load	lb	Pressure PSI
0		10.00		3.33
0.025		164.32		54.77
0.050		314.58		104.86
0.075		464.83		154.94
0.100		598.85		199.62
0.125		720.68		240.23
0.150		822.20		274.07
0.175		923.73		307.91
0.200		1017.13		339.04
0.250		1179.57		393.19
0.300		1313.58		437.86
% CBR at 0.1" Soaked		20.0		
% CBR at 0.2" Soaked		22.6		

ตารางที่ 4.15 ผลการทดสอบหาค่า SOAKED CBR แบบมาตรฐาน กม. 43+350

CBR Load Test Data			
Type of compaction :	Standard Proctor Test		
Dry Density	gm/cc	1.756	
Wt. of hammer	lb	5.5	
No of Layer		3	
Blows per Layer		56	
Optimum Water content	%	16.6	
Water content	%	16.4	
Penetration INCH.	Load lb	Pressure PSI	
0	10.00	3.33	
0.025	200.87	66.96	
0.050	391.73	130.58	
0.075	558.24	186.08	
0.100	700.37	233.46	
0.125	826.26	275.42	
0.150	935.91	311.97	
0.175	1041.49	347.16	
0.200	1118.65	372.88	
0.250	1281.09	427.03	
0.300	1411.05	470.35	
% CBR at 0.1" Soaked	23.3		
% CBR at 0.2" Soaked	24.9		

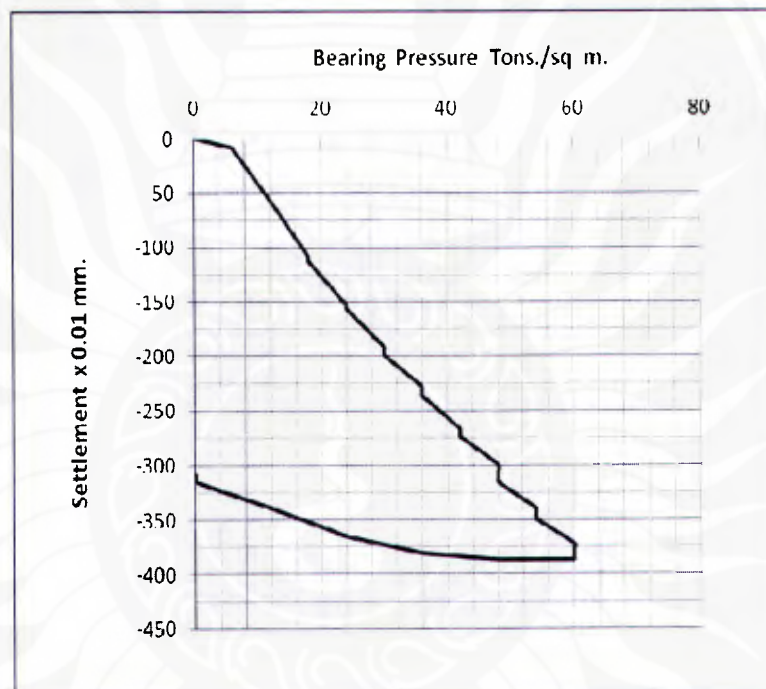
ตารางที่ 4.16 ผลการทดสอบหาค่า SOAKED CBR แบบมาตรฐานกม. 44+562

CBR Load Test Data			
Type of compaction :	Standard Proctor Test		
Dry Density	gm/cc	1.801	
Wt. of hammer	lb	5.5	
No. of Layer		3	
Blows per Layer		56	
Optimum Water content	%	17.5	
Water content	%	16.0	
Penetration INCH.	Load lb	Pressure PSI	
0	10.00	3.33	
0.025	200.87	66.96	
0.050	387.67	129.22	
0.075	578.54	192.85	
0.100	749.10	249.70	
0.125	907.48	302.49	
0.150	1065.86	355.29	
0.175	1208.00	402.67	
0.200	1333.89	444.63	
0.250	1601.91	533.97	
0.300	1845.57	615.19	
% CBR at 0.1" Soaked	25.0		
% CBR at 0.2" Soaked	30.0		

สำหรับผลการทดสอบการวัดแรงเฉือนของดินที่บดอัดจนแน่นตีแล้ว โดยวิธี CBR ของดินฐานรากดินชนิดเดียวกัน พบร่วมกัน ดินชนิด CH มีค่า CBR แบบ Unsoaked เท่ากับ 116.70% ซึ่งมากกว่า ดินชนิด CL ซึ่งมีค่า CBR แบบ Unsoaked เท่ากับ 100.03% แต่มีอัตราณู CBR แบบ soaked พบร่วมกับ CBR แบบ soaked ของดิน CL มีค่า 25% ซึ่งมากกว่าดิน CH ซึ่งมีค่า CBR แบบ soaked เท่ากับ 20% และแสดงให้เห็นว่าดินชนิด Low plasticity จะมีค่า CBR แบบ soaked มากกว่าดินชนิด High plasticity

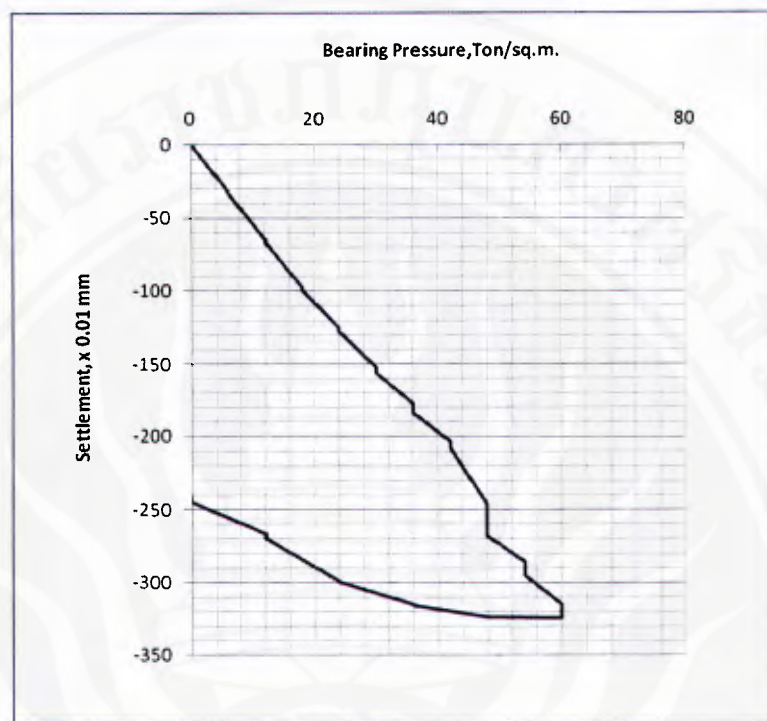
4.6 ผลการทดสอบ Plate Load Test

ผลการทดสอบค่ารับน้ำหนักบรรทุกของดินฐานราก โดยวิธีการทดสอบ Plate Load Test ของดินฐานราก ที่ กม. 40+860 เป็นดินชุดที่ 1 ได้แสดงผลการทดสอบไว้ในรูปที่ 4.10 ดินฐานราก กม. 41+075 เป็นดินชุดที่ 2 ได้แสดงผลการทดสอบไว้ในรูปที่ 4.11 ดินฐานราก ที่ กม. 43+350 เป็นดินชุดที่ 3 ได้แสดงผลการทดสอบไว้ในรูปที่ 4.12 และดินฐานราก ที่ กม. 44+562 เป็นดินชุดที่ 4 ได้แสดงผลการทดสอบไว้ในรูปที่ 4.13 ตามลำดับ



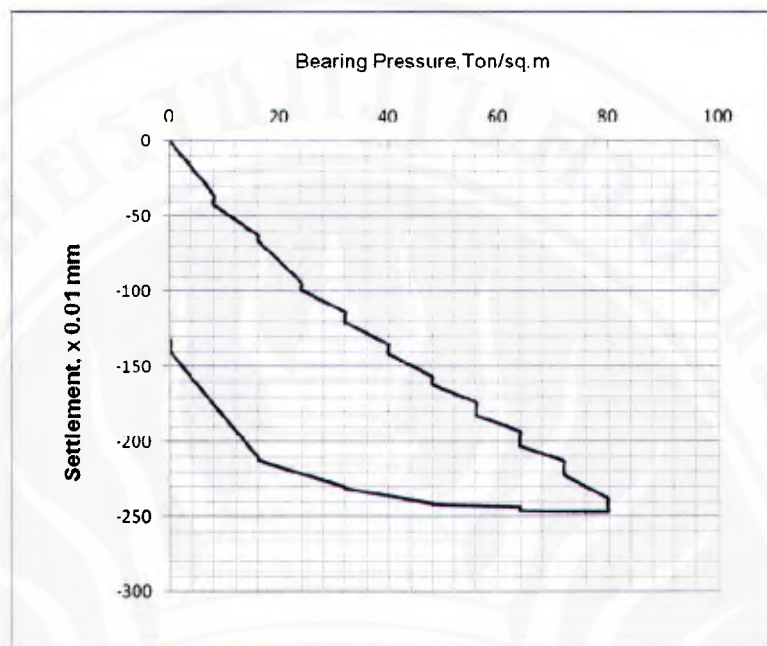
รูปที่ 4.10 กราฟ Bearing Pressure กับ Settlement กม.40+860

ผลการทดสอบการกดน้ำหนักด้วยแผ่นเหล็ก จุดทดสอบ กม.40+860 มีค่าการทรุดตัวสูงสุด 3.86 mm ที่น้ำหนักบรรทุก 60 tons /sq.m



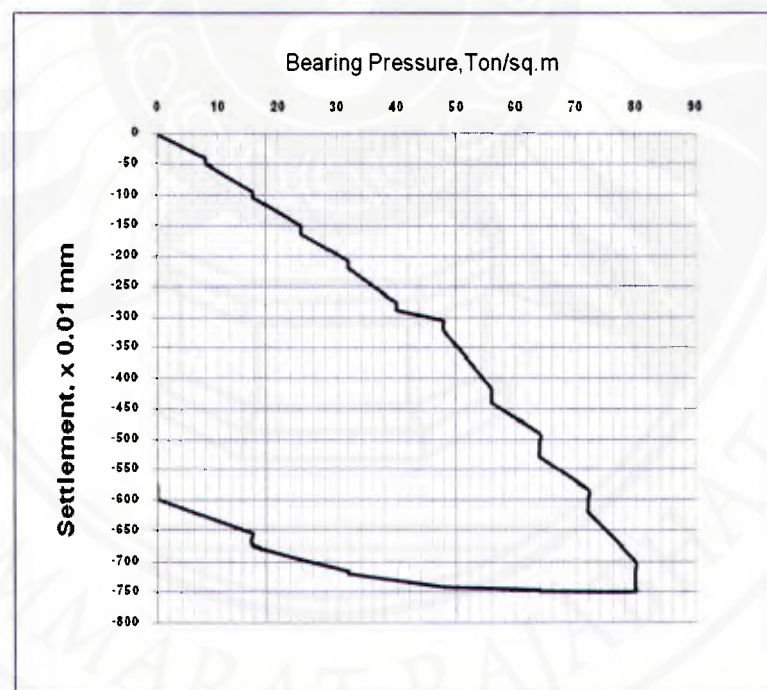
รูปที่ 4.11 กราฟของ Bearing Pressure กับ Settlement กม.41+075

ผลการทดสอบการกดน้ำหนักด้วยแผ่นเหล็ก จุดทดสอบ กม.41+075 มีค่าการทรุดตัวสูงสุด 3.24 mm ที่น้ำหนักบรรทุก 60 tons /sq.m



รูปที่ 4.12 กราฟของ Bearing Pressure กับ Settlement กม.44+562

ผลการทดสอบการกดน้ำหนักด้วยแผ่นเหล็ก จุดทดสอบ กม.44+562 มีค่าการทรุดตัวสูงสุด 2.48 mm ที่น้ำหนักบรรทุก 80 tons /sq.m



รูปที่ 4.13 กราฟของ Bearing Pressure กับ Settlement กม.43+350

ผลการทดสอบการกดน้ำหนักด้วยแเพ่นเหล็ก จุดทดสอบ กม.43+350 มีค่าการทรุดตัวสูงสุด 7.51 mm ที่น้ำหนักบรรทุก 80 tons /sq.m

จากการทดสอบทั้งหมดพบว่า ค่าการทรุดตัวของดินฐานรากที่น้ำหนักบรรทุกสูงสุด อยู่ในเกณฑ์ที่ยอมรับได้ คือ น้อยกว่าหรือเท่ากับ 25 mm

ดินชุดที่ 1 มีค่าการทรุดตัว 3.86 mm ที่น้ำหนักบรรทุกสูงสุด 60 tons /sq.m

ดินชุดที่ 2 มีค่าการทรุดตัว 3.24 mm ที่น้ำหนักบรรทุกสูงสุด 60 tons /sq.m

ดินชุดที่ 3 มีค่าการทรุดตัว 7.51 mm ที่น้ำหนักบรรทุกสูงสุด 80 tons/sq.m

ดินชุดที่ 4 มีค่าการทรุดตัว 2.47 mm ที่น้ำหนักบรรทุกสูงสุด 80 tons /sq.m

ผลการทดสอบทั้งหมดได้สรุปไว้ในตารางที่ 4.17 ดินตัวอย่าง กม.40+860 มีค่าเปอร์เซ็นต์ผ่านตะแกรงเบอร์ 200 เท่ากับ 59.08 เปอร์เซ็นต์มีค่าขีดจำกัดความเหลว(Liquid Limit)เท่ากับ 70.00 เปอร์เซ็นต์ ค่าขีดจำกัดพลาสติก(Plastic Limit)เท่ากับ 32.29 เปอร์เซ็นต์ และค่าพิกัดเหลว(Plastic Index)เท่ากับ 37.71 เปอร์เซ็นต์ เมื่อจำแนกดินด้วยวิธี Unified soil classification system เป็นดินชนิด CH

ดินตัวอย่าง กม.41+075 เป็นดินผสมระหว่าง Stone Fragment, gravel,Sand

ดินตัวอย่าง กม.43+350 มีค่าเปอร์เซ็นต์ผ่านตะแกรงเบอร์ 200 เท่ากับ 49.10 เปอร์เซ็นต์มีค่าขีดจำกัดความเหลว(Liquid Limit)เท่ากับ 66.00 เปอร์เซ็นต์ ค่าขีดจำกัดพลาสติก(Plastic Limit)เท่ากับ 31.74 เปอร์เซ็นต์ และค่าพิกัดเหลว(Plastic Index)เท่ากับ 34.26 เปอร์เซ็นต์เมื่อจำแนกดินด้วยวิธี Unified soil classification system เป็นดินชนิด SC

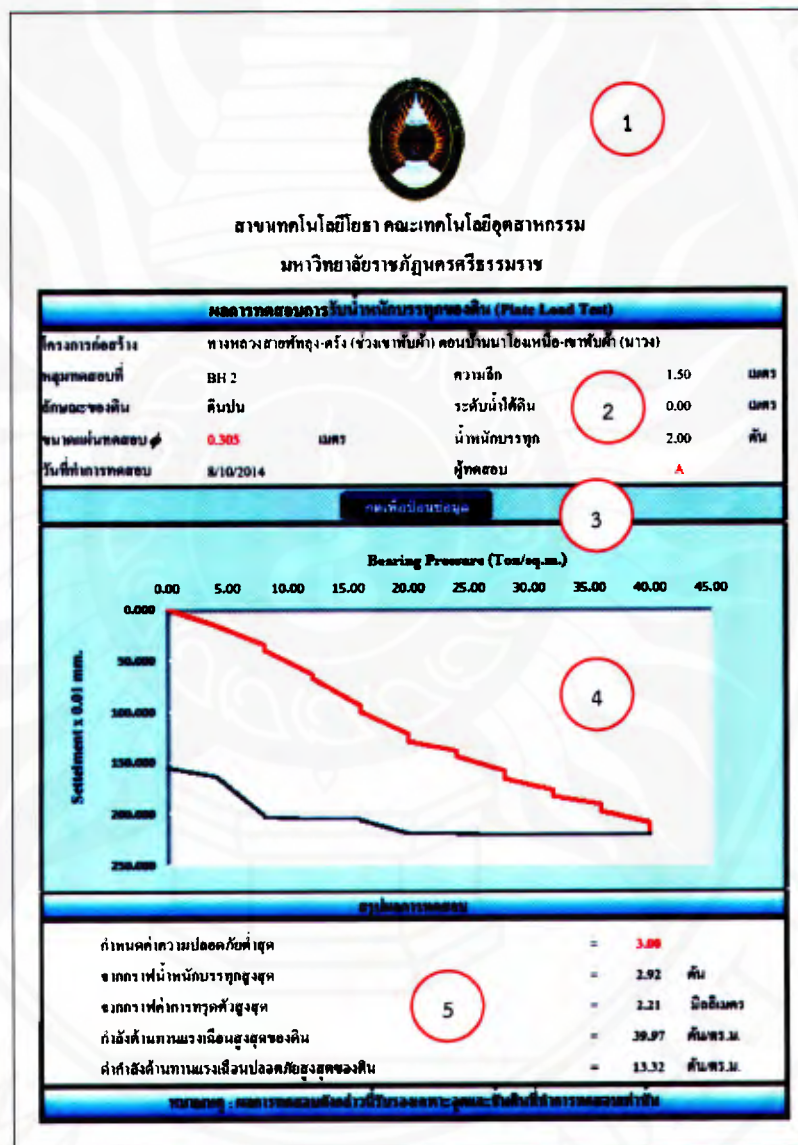
ดินตัวอย่าง กม.44+562 มีค่าเปอร์เซ็นต์ผ่านตะแกรงเบอร์ 200 เท่ากับ 65.42 เปอร์เซ็นต์มีค่าขีดจำกัดความเหลว(Liquid Limit)เท่ากับ 48.00 เปอร์เซ็นต์ ค่าขีดจำกัดพลาสติก(Plastic Limit)เท่ากับ 26.91 เปอร์เซ็นต์ และค่าพิกัดเหลว(Plastic Index)เท่ากับ 21.09 เปอร์เซ็นต์ เมื่อจำแนกดินด้วยวิธี Unified soil classification system เป็นดินชนิด CL

ตารางที่ 4.17 ผลการทดสอบทั้งหมด

ตัวอย่างดิน	ชนิดดิน	Atterberg Limit			% CBR at 0.1" Unsoaked	% CBR at 0.1" Soaked	Settlement (mm) at 48 tons./sq.m
		L.L.	P.L.	P.I.			
กม. 40+860	CH	70.00	32.29	37.71	116.70	20.0	3.15
กม. 41+075	-	ไม่มีข้อมูล			ไม่มีข้อมูล	20.0	2.68
กม. 43+350	SC	66.00	31.74	34.26	113.58	23.3	3.20
กม. 44+562	CL	48.00	26.91	21.09	100.03	25.0	1.62

4.7 การประยุกต์โปรแกรมเพื่อการคำนวณ

โปรแกรมไมโครซอฟท์อฟฟิศ เอ็กเซล 2007 (Microsoft Excel 2007) ถูกนำมาประยุกต์ใช้เพื่อการประมวลผลการคำนวณหาค่าแรงด้านแรงเนื้อนในดินสูงสุด และแสดงกราฟการทรุดตัวและการคืนตัวของดินเมื่อไส้น้ำหนักบรรทุกและค่อยๆ ลดน้ำหนักบรรทุก หน้าจอโปรแกรมแสดงในรูปที่ 4.14 และ 4.15 ดังนี้



รูปที่ 4.14 หน้าจอโปรแกรมแสดงกราฟและค่ากำลังด้านทางแรงเนื้อนปลดภัยสูงสุด

ข้อมูลการทดสอบ				
ขนาดพื้นที่ทดสอบ (m)	0.305	6		
นำ้มั่นนักบริหาร (ต้น)	G (ตัน/ตร.ม.)	ค่าการทดสอบ ($\times 0.01$ มม.)	Rebound ($\times 0.01$ มม.)	
7 0.00	8 0.00	0.000 9	155.250	10
0.29	4.00	16.000	164.000	
0.58	7.99	35.000	202.000	
0.58	7.99	40.000	203.750	
0.88	11.99	63.500	205.250	
0.88	11.99	67.500	205.250	
1.17	15.99	94.000	205.250	
1.17	15.99	100.000	206.500	
2.04	27.98	166.750	221.000	
2.34	31.97	178.000	221.000	
2.34	31.97	184.000	221.000	
2.63	35.97	191.750	221.000	
2.63	35.97	198.500	221.000	
2.920	39.97	209.750	221.000	
2.920	39.97	221.000	221.000	

BACK

11

รูปที่ 4.15 หน้าจอแสดงข้อมูลการทดสอบตัวของดินบริเวณที่ทดสอบ

จากรูปที่ 4.14 และ 4.15 แสดงหมายเลขอารบันหน้าจอของโปรแกรม ซึ่งสามารถอธิบายได้ดังนี้

หมายเลขอ 1 แสดงตราสัญลักษณ์และชื่อหน่วยงานเจ้าของโปรแกรม

หมายเลขอ 2 แสดงส่วนที่ป้อนข้อมูลชื่อโครงการ และการเก็บข้อมูลภาคสนาม หลุมทดสอบ ลักษณะของดินบริเวณหลุมทดสอบ ขนาดแพ่นทดสอบ วันที่ทำการทดสอบ ความลึกของหลุมทดสอบ ระดับน้ำใต้ดิน ขนาดน้ำหนักบรรทุก และชื่อผู้ทำการทดสอบ

หมายเลขอ 3 แสดงปุ่มกดเพื่อไปที่หน้าจอเพื่อป้อนข้อมูลที่บันทึกจากภาคสนาม

หมายเลขอ 4 แสดงกราฟความสัมพันธ์ระหว่างค่าความเค้นแรงกดและค่าการทดสอบตัวของดิน ณ หลุมทดสอบ

หมายเลขอ 5 แสดงค่าความปลอดภัยที่กำหนดขึ้น ค่าน้ำหนักบรรทุกสูงสุด ค่าการทรุดตัวสูงสุดซึ่งได้จากการพินหน้าจากรูปที่ 4.14 กำลังต้านทานแรงเฉือนสูงสุดของดิน ซึ่งได้จากการคำนวณจากสมการที่ 3.1 และแรงเฉือนปลอดภัยสูงสุดของดินที่หลุมทดสอบ ซึ่งได้จากการคำนวณจากสมการที่ 3.1 หารด้วยค่าความปลอดภัย

หมายเลขอ 6 แสดงขนาดแผ่นทดสอบแรงกด

หมายเลขอ 7 ขนาดน้ำหนักบรรทุกที่ใช้ในการทดสอบ

หมายเลขอ 8 แสดงค่าความเค้นแรงกด ได้จากการคำนวณจากข้อมูลในช่องที่ 6

หมายเลขอ 9 และ 10 แสดงช่องป้อนข้อมูลจากผลการทดสอบ ณ บริเวณหลุมทดสอบ

หมายเลขอ 11 ปุ่มเพื่อกลับไปที่จอหลัก จะได้กราฟจากข้อมูลที่ป้อน และผลกำลังต้านทานแรงเฉือนสูงสุดของดิน และแรงเฉือนปลอดภัยสูงสุดของดิน ดังแสดงในช่องหมายเลขอ 4 และหมายเลขอ 5

เมื่อดำเนินการป้อนข้อมูลเรียบร้อย โปรแกรมจะทำการคำนวณผลและสามารถสั่งพิมพ์หน้าจอหลัก เพื่อใช้เป็นรายงานข้อมูลได้

บทที่ 5

สรุปผลการวิจัย

จากการศึกษาสามารถสรุปได้ว่าดินฐานรากกำแพงกันดินของโครงการเร่งรัดขยายทางสาย
ประ ранให้เป็น 4 ช่องจราจร ทางหลวงหมายเลข 4 สาย ตรัง – พัทลุง มีคุณสมบัติดังนี้

- ดินฐานราก กม. 40+860 เป็นดินชุดที่ 1 CH
- ดินฐานราก กม. 41+075 เป็นดินชุดที่ 2
- ดินฐานราก กม. 43+350 เป็นดินชุดที่ 3 SC
- ดินฐานราก กม. 44+562 เป็นดินชุดที่ 4 CL

สำหรับผลการทดสอบการวัดแรงเฉือนของดินที่บดอัดจนแน่นีแล้ว โดยวิธี CBR ของดินฐาน
รากดินชนิดเดียวกัน พบว่า ดินชนิด CH มีค่า CBR แบบ Unsoaked เท่ากับ 116.70% ซึ่งมากกว่า
ดินชนิด CL ซึ่งมีค่า CBR แบบ Unsoaked เท่ากับ 100.03% แต่เมื่อพิจารณา CBR แบบ soaked
พบว่า CBR แบบ soaked ของดิน CL มีค่า 25% ซึ่งมากกว่าดิน CH ซึ่งมีค่า CBR แบบ soaked
เท่ากับ 20% แสดงให้เห็นว่าดินชนิด Low plasticity จะมีค่า CBR แบบ soaked มากกว่าดินชนิด
High plasticity

ค่าการทรุดตัวของดินฐานรากที่น้ำหนักบรรทุกสูงสุด อยู่ในเกณฑ์ที่ยอมรับได้ คือน้อยกว่า
หรือเท่ากับ 25 mm

- ดินชุดที่ 1 มีค่าการทรุดตัว 3.86 mm ที่น้ำหนักบรรทุกสูงสุด 60 tons /sq.m
- ดินชุดที่ 2 มีค่าการทรุดตัว 3.24 mm ที่น้ำหนักบรรทุกสูงสุด 60 tons /sq.m
- ดินชุดที่ 3 มีค่าการทรุดตัว 7.51 mm ที่น้ำหนักบรรทุกสูงสุด 80 tons/sq.m
- ดินชุดที่ 4 มีค่าการทรุดตัว 2.47 mm ที่น้ำหนักบรรทุกสูงสุด 80 tons /sq.m

ความสัมพันธ์ระหว่างค่า CBR และค่าการทรุดตัว

- ดินชุดที่ 1 มีค่าการทรุดตัว 3.15 mm มีค่า CBR แบบ Unsoaked เท่ากับ 116.70 %
มีค่า CBR แบบ soaked เท่ากับ 20%
- ดินชุดที่ 2 ไม่มีข้อมูล แบบ Unsoaked และมีค่า CBR แบบ soaked เท่ากับ 20%
- ดินชุดที่ 3 มีค่าการทรุดตัว 3.20 mm มีค่า CBR แบบ Unsoaked เท่ากับ 113.58%
มีค่า CBR แบบ soaked เท่ากับ 23.3%
- ดินชุดที่ 4 มีค่าการทรุดตัว 1.62 mm มีค่า CBR แบบ Unsoaked เท่ากับ 100.03%
มีค่า CBR แบบ soaked เท่ากับ 25%

จากการทดสอบพบว่าค่า CBR แบบ Unsoaked ของดินโดยการบดอัดแบบสูงกว่ามาตรฐาน และค่า CBR แบบ soaked จากการบดอัดแบบมาตรฐาน และค่าการทรุดตัวของดินไม่มีความสัมพันธ์กันแต่อย่างใด เมื่อพิจารณา ที่ค่าน้ำหนักบรรทุก 48 tons /sq.m เท่ากัน เนื่องจากการทดสอบภายในห้องปฏิบัติการนั้นมีการควบคุมความชื้นของดินตัวอย่าง แต่ดินในสนามนั้นจะมีปริมาณความชื้นตามธรรมชาติซึ่งแตกต่างจากในห้องปฏิบัติการ

จากการศึกษาทั้งหมด สามารถสรุปได้ว่าดินฐานรากมีผลการทดสอบอยู่ในเกณฑ์ที่ยอมรับได้คือเมื่อ CBR แบบ soaked สูงกว่าหรือเท่ากับ 6% และมีค่าการทรุดตัวในการทดสอบ Plate Load Test ที่น้ำหนักบรรทุกสูงสุดที่อัตราส่วนความปลดภัย 2.5 เท่า ไม่เกิน 25 mm (ASTM D 1196-93)

การประยุกต์ใช้โปรแกรมสำเร็จรูปช่วยในการวิเคราะห์ข้อมูลที่ได้จากการสำรวจ เพื่อการประเมินผลการคำนวณหาค่าแรงต้านแรงเฉือนในดินสูงสุด และค่าแรงต้านทานแรงเฉือนปลดภัย สูงสุด รวมถึงการแสดงกราฟการทรุดตัวและการคืนตัวของดินเมื่อไส้น้ำหนักบรรทุกและค่อยๆ ลดน้ำหนักบรรทุก สามารถทำได้อย่างสะดวก รวดเร็ว และสามารถจัดพิมพ์รายงานผลได้ทันทีที่ต้องการ

ข้อเสนอแนะ

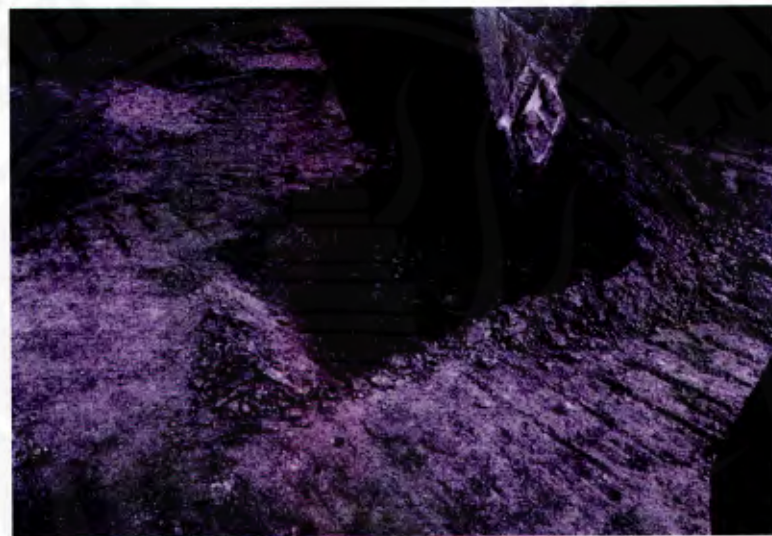
CBR แบบ Unsoaked ของดินที่ได้จากการทดสอบหาค่า CBR แบบสูงกว่ามาตรฐานและ CBR แบบ soaked จากการทดสอบหาค่า CBR แบบมาตรฐาน และค่าการทรุดตัวของดินไม่มีความสัมพันธ์กัน เนื่องจากการทดสอบภายในห้องปฏิบัติการมีการควบคุมความชื้นของดินตัวอย่าง แต่ดินในสนามนั้นจะมีปริมาณความชื้นตามธรรมชาติซึ่งแตกต่างจากในห้องปฏิบัติการ ดังนั้นจึงควรใช้วิธีการทดลองหาค่า CBR ในสนาม ซึ่งจะได้ค่า CBR ของดินตามธรรมชาติ

บรรณานุกรม

- กรมทางหลวงสำนักวิเคราะห์วิจัยและพัฒนางานทาง, 2517. การทดลองที่ ทล.-ท. 205/2517
วิธีการทดลองหาขนาดเม็ดของวัสดุโดยผ่านตะแกรงแบบล้าง (เทียบเท่า AASHTO T 27-70).
- กรมทางหลวงสำนักวิเคราะห์วิจัยและพัฒนางานทาง, 2515. การทดลองที่ ทล.-ท. 102/2515
วิธีการทดลอง หาค่า Liquid Limit (L.L.) ของดิน (เทียบเท่า AASHTO T 89).
- กรมทางหลวงสำนักวิเคราะห์วิจัยและพัฒนางานทาง, 2515. การทดลองที่ ทล.-ท. 103/2515
วิธีการทดลองหาค่า Plastic Limit (P.L.) ของดิน (เทียบเท่า AASHTO T 90).
- กรมทางหลวงสำนักวิเคราะห์วิจัยและพัฒนางานทาง, 2517. การทดลองที่ ทล.-ท. 108/2517
วิธีการทดลอง Compaction Test แบบสูงกว่ามาตรฐาน (เทียบเท่า AASHTO T 180).
- กรมทางหลวงสำนักวิเคราะห์วิจัยและพัฒนางานทาง, 2517. การทดลองที่ ทล.-ท. 109/2517
วิธีการทดลอง หาค่า CBR (CALIFORNIA BEARING RATIO) (เทียบเท่า AASHTO T 193).
- จิรพัฒน์ โชคไกร, 2543. การออกแบบทาง Pavement Design, สำนักพิมพ์
มหาวิทยาลัยเกษตรศาสตร์, พิมพ์ครั้งที่ 2 กรุงเทพมหานคร
- สถาพร คุวิจิตรจาธุ, 2544. การเจาะสำรวจ เก็บตัวอย่างและทดสอบในสนาม,
มหาวิทยาลัยเกษตรศาสตร์ กรุงเทพมหานคร
- สราช จริตงาม, 2545. กลศาสตร์ของดิน (Soil Mechanical), คณะวิศวกรรมศาสตร์
มหาวิทยาลัยสงขลานครินทร์ สงขลา
- เสริมพันธ์ เอี่ยมจะบก .การทดสอบและวัดในสนาม (Field Measurement), โปรแกรมวิชา
เทคโนโลยีอุตสาหกรรม(ก่อสร้าง) มหาวิทยาลัยราชภัฏอุดรธานี อุดรธานี
- อรสา วงศ์คำ, 2540. การศึกษาความสัมพันธ์ของผลการทดสอบระหว่าง (California Bearing Ratio)
กับชนิดของดิน (เฉพาะกลุ่ม CL), กลุ่มวิจัยและพัฒนาด้านวิศวกรรม สำนักวิจัยและพัฒนา
กรมชลประทาน กรุงเทพมหานคร

ภาคผนวก

การเก็บตัวอย่างดินมาทดสอบ



รูปที่ ผ1 การขุดเก็บตัวอย่างดินใต้จุดทดสอบ



รูปที่ ผ2 ลักษณะของดินตัวอย่างใต้จุดทดสอบ

การทดสอบหาขนาดเม็ดของวัสดุ โดยผ่านตะแกรงแบบล้าง

มาตรฐานอ้างอิง AASHTO T 27 – 70 (tl.-th. 205)



รูปที่ ผ3 เปิดดินเม็ดละเอียดที่จับตัวเป็นก้อนให้แตกโดยใช้มือ



รูปที่ ผ4 เปิดน้ำล้างดินเม็ดละเอียดผ่านตะแกรงเบอร์ 200



รูปที่ ผ5 ชั้นหาน้ำหนักดินที่เหลือหลังการอบให้แห้ง



รูปที่ ผ6 การเขย่าด้วยเครื่องร่อน

การทดสอบการกดอัดดิน (Compaction Test) แบบสูงกว่ามาตรฐาน
มาตรฐานอ้างอิง AASHTO T 108 (ทล.-ท. 108)



รูปที่ ผ7 วัสดุและอุปกรณ์ที่ใช้ในการทดสอบแบบสูงกว่ามาตรฐาน



รูปที่ ผ8 ร่อนดินตัวอย่างผ่านตะแกรงเบอร์3/4 นิ้ว



รูปที่ ผ9 คลุกเคล้าตัวอย่างติดที่เดินน้ำแล้วด้วยมือจนเข้ากัน



รูปที่ ผ10 การบดอัดติดแบบสูงกว่ามาตรฐาน



รูปที่ ผ11 ป้าดแต่งหน้า ตกแต่งให้เรียบ



รูปที่ ผ12 ชั่งดินที่บดอัดแล้วพร้อมโน้มลงเพื่อทำความสะอาดแนว

การทดลองหาขีดความชื้นเหลวของดิน (Atterberg's Limit)



รูปที่ ผ13 ดินตัวอย่างสภาพแห้ง ร่อนผ่านตะแกรงเบอร์40



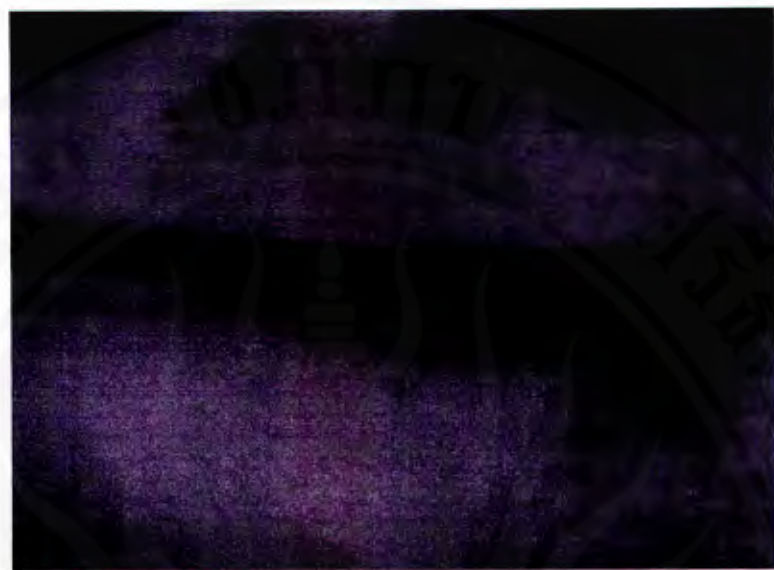
รูปที่ ผ14 ผสมจนดินกับน้ำกลิ้นเข้ากัน



รูปที่ ผ15 ปัดดินให้เป็นร่องทรงกลางด้วยที่ปัดดิน



รูปที่ ผ16 หมุนให้ดินในร่องเคลื่อนที่สัมผัสกันระยะ 12.7 mm



รูปที่ ผ17 คลึงดินจนได้เส้นที่มีขนาด 3.2 มิลลิเมตรและมีรอยแตกพอดี

การทดสอบหาค่า CBR (CALIFORNIA BEARING RATIO)
มาตรฐานอ้างอิง AASHTO T 193 (tl.- th. 109)



รูปที่ ผ18 คลุกเคล้าตัวอย่างดินที่ผสมน้ำด้วยมือจนเข้ากัน



รูปที่ ผ19 แสดงการบดอัดแบบสูงกว่ามาตรฐาน



รูปที่ ผ20 การแซ่ตัวอย่างในน้ำเพื่อวัดการขยายตัวของดิน



รูปที่ ผ21 การเน้นทั้งหลังจากแซ่ตัวอย่างในน้ำ



รูปที่ ผ22 การนำตัวอย่างพร้อมแบบปั๊งหน้าหักหลังจากแยกในน้ำ



รูปที่ ผ23 การทดสอบ CBR

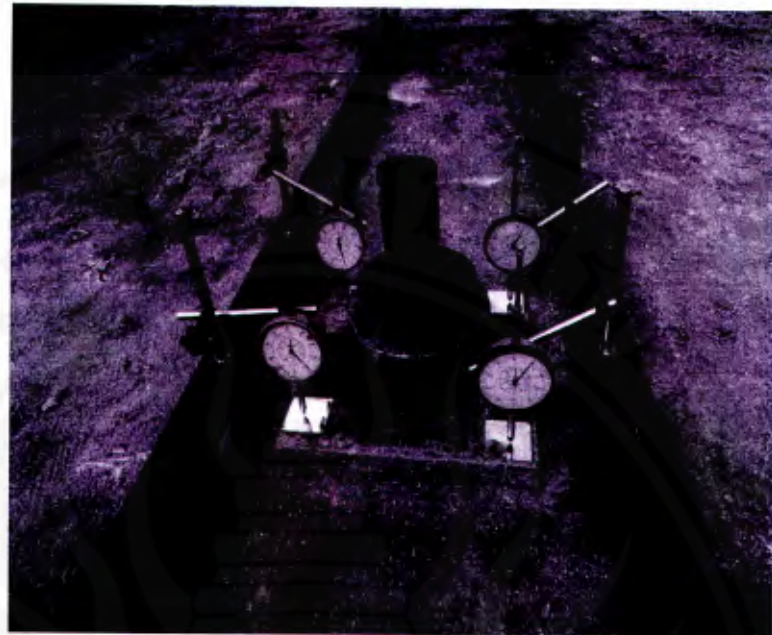
การทดสอบกำลังรับน้ำหนักของดินโดยวิธี Plate Load Test



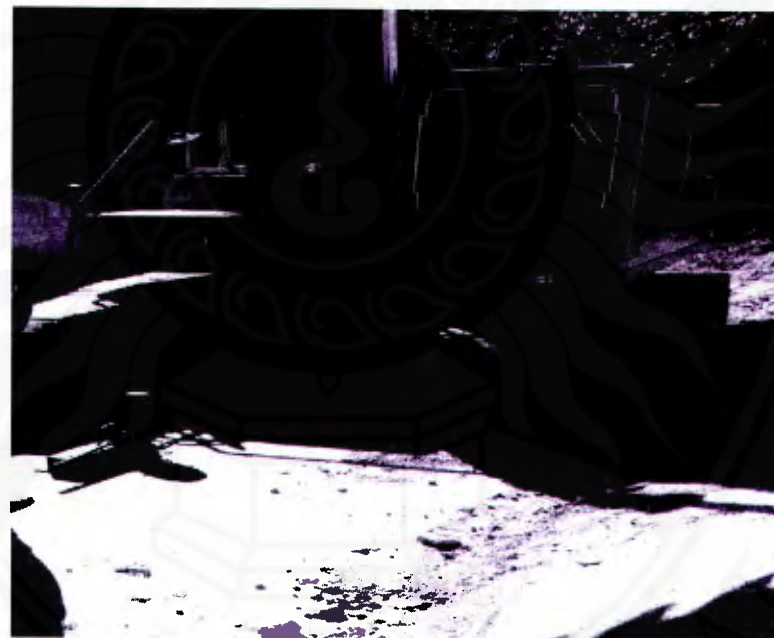
รูปที่ ผ24 ปรับเกลี่ยผิวน้ำพื้นที่ทดสอบให้เรียบและได้ระดับ



รูปที่ ผ25 วางแผ่นเหล็กทุกแผ่นให้ร่วมศูนย์กัน



รูปที่ ผ26 ติดตั้งไดอลเกจไว้บนมุนทั้งสี่ของแผ่นเหล็ก



รูปที่ ผ27 เลื่อนรถขุดคืนโดยให้แม่แรงไฮดรอลิกอยู่กึ่งกลางพอดี



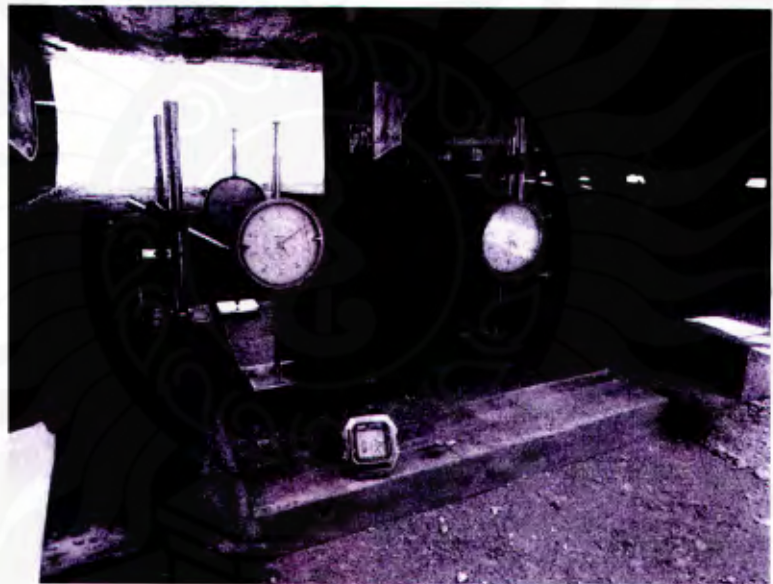
รูปที่ ผ28 การติดตั้งชุดทดสอบเร็วเรียบร้อย



รูปที่ ผ29 ตรวจสอบความถูกต้องและเรียบร้อยก่อนให้น้ำหนัก



รูปที่ ผ30 เริ่มให้น้ำหนักแก่แม่แรงไฮโดรลิก



รูปที่ ผ31 บันทึกค่าการทรุดตัวเทียบกับเวลา